

# Mathématiques appliquées & médecine nucléaire : quelques ponts

Denis Mariano-Goulart

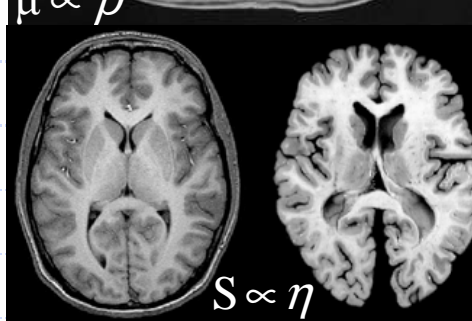
Faculté de médecine et CHRU  
Montpellier

[d-mariano\\_goulart@chu-montpellier.fr](mailto:d-mariano_goulart@chu-montpellier.fr)

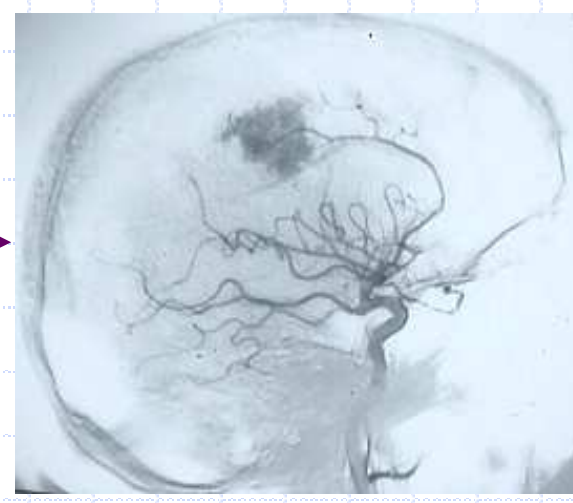
# Résumé

Depuis la conception du premier "scanner", à la fin des années 1960, les techniques d'imagerie médicale ont grandement bénéficié de l'apport de nombreux outils de mathématiques appliquées et de traitement du signal numérique, tant dans le domaine de la reconstruction (tomographie, images paramétriques) que de l'analyse d'images (segmentation, modélisations). Après une brève présentation des diverses modalités de l'imagerie médicale et des bases de la reconstruction tomographique, l'exposé insistera sur quelques travaux récents menés lors de collaborations entre mathématiciens et médecins dans les domaines de la régularisation de problèmes inverses linéaires, de la modélisation de données bruitées ou de la segmentation d'images médicales. Quelques pistes d'éventuelles nouvelles collaborations seront suggérées au fil de l'exposé.

# Imagerie médicale



ANATOMIQUE



Radiologie &  
Imagerie  
médicale

IMAGERIE

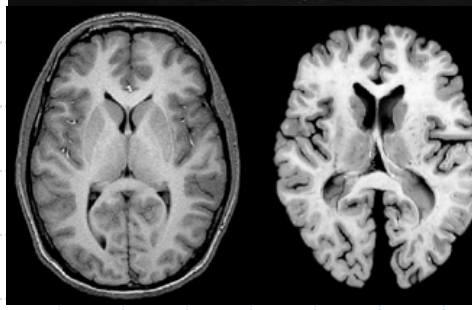
TOMOGRAPHIE 2D

TOMOGRAPHIE 3D

INTERPOLATIONS

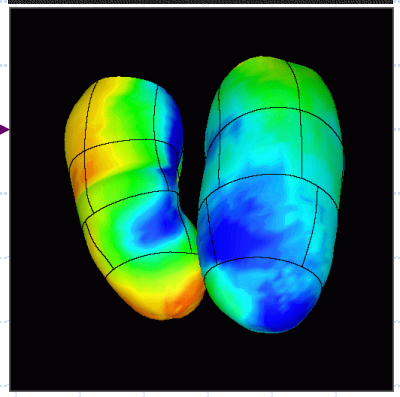
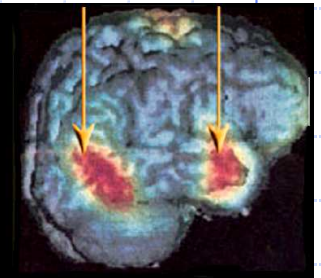
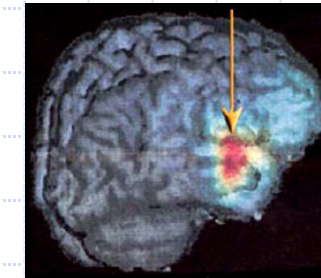
SEGMENTATION

# Imagerie médicale



ANATOMIQUE

FONCTIONNELLE



IMAGERIE

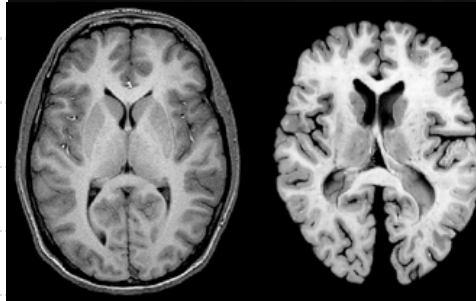
TOMOGRAPHIE 2D

TOMOGRAPHIE 3D

INTERPOLATIONS

SEGMENTATION

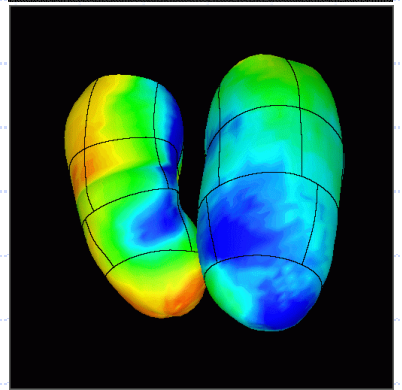
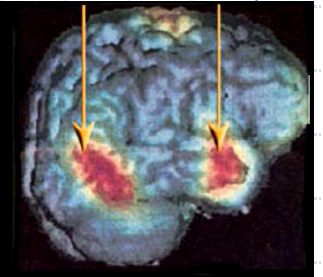
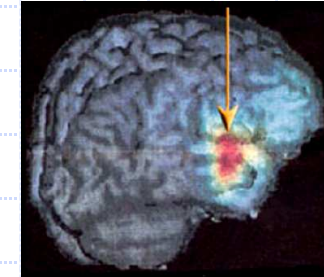
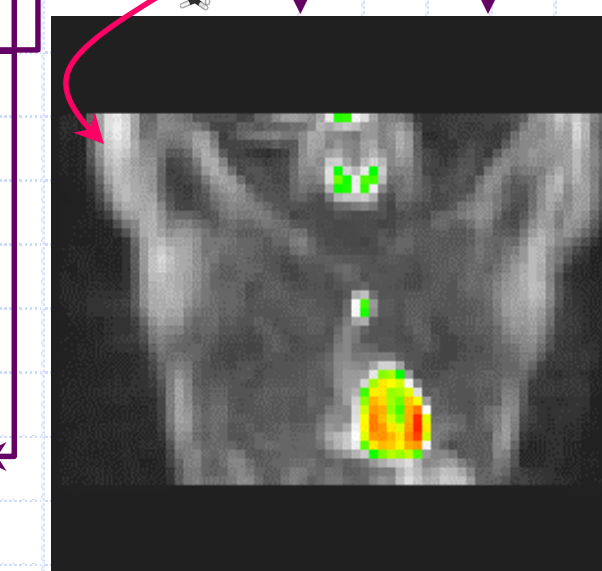
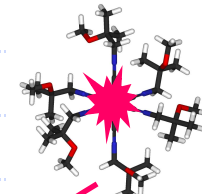
# Imagerie médicale



ANATOMIQUE

MÉTABOLIQUE

FONCTIONNELLE



IMAGERIE

TOMOGRAPHIE 2D

TOMOGRAPHIE 3D

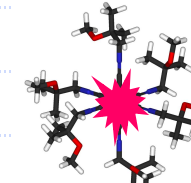
INTERPOLATIONS

SEGMENTATION

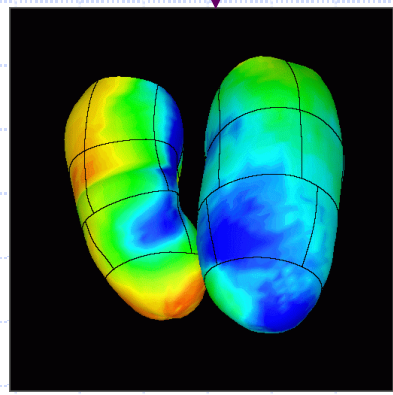
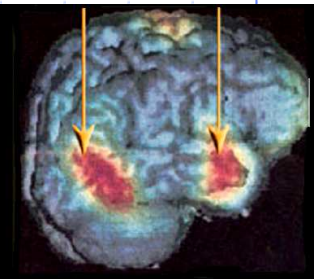
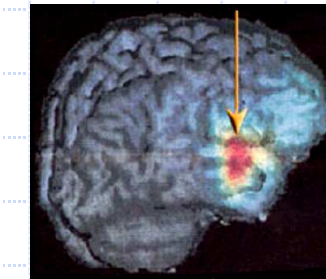
# Imagerie médicale

Biophysique  
& médecine  
nucléaire

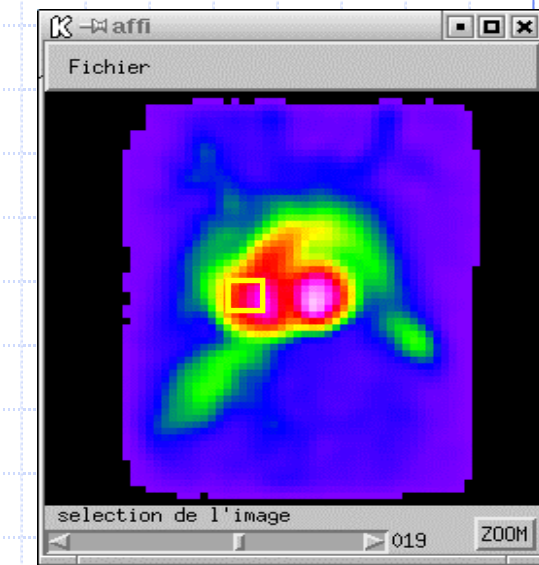
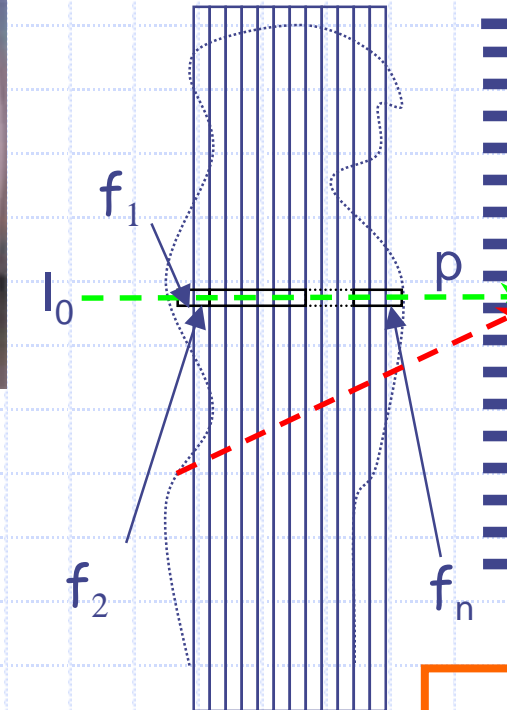
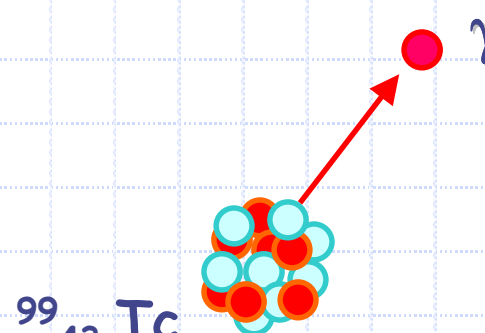
MÉTABOLIQUE



FONCTIONNELLE



# TEMP (SPECT)



$$p = R_1 f_1 + R_2 f_2 + \dots + R_n f_n$$

résolution  $\approx$  cm  
bruit de Poisson

IMAGERIE

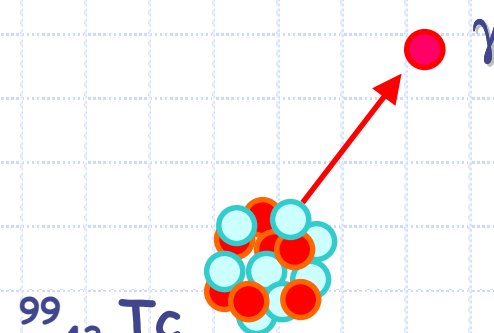
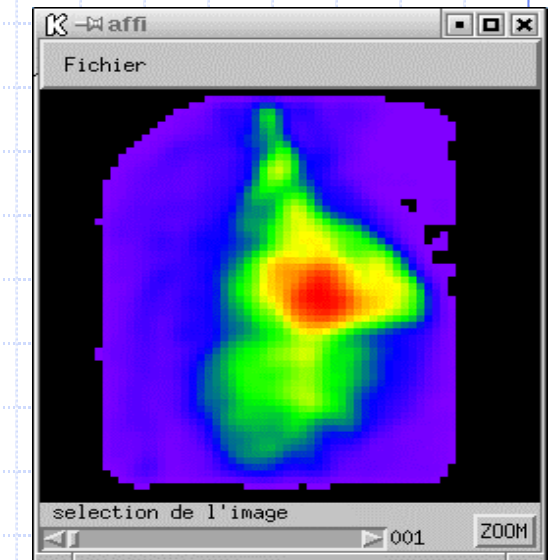
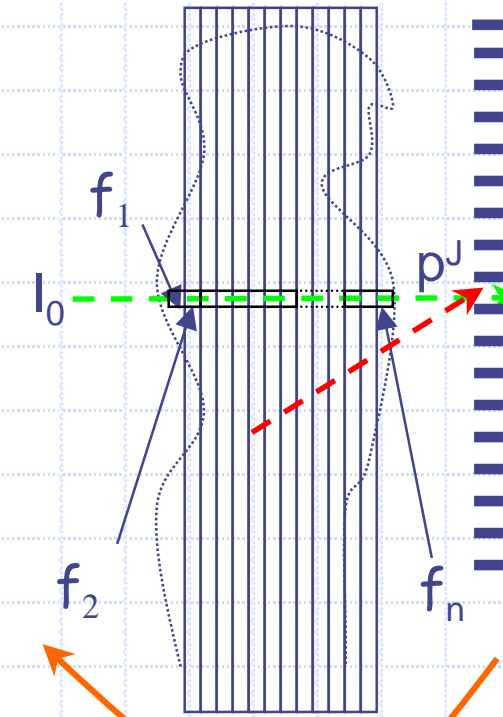
TOMOGRAPHIE 2D

TOMOGRAPHIE 3D

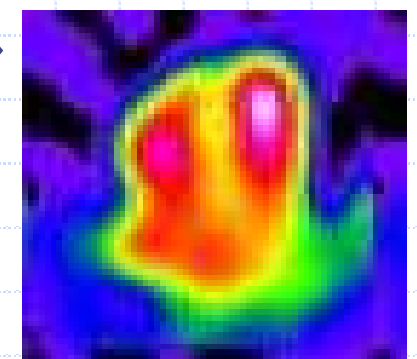
INTERPOLATIONS

SEGMENTATION

# TEMP (SPECT)



$$p^j = \sum R_i^j f_i$$



IMAGERIE

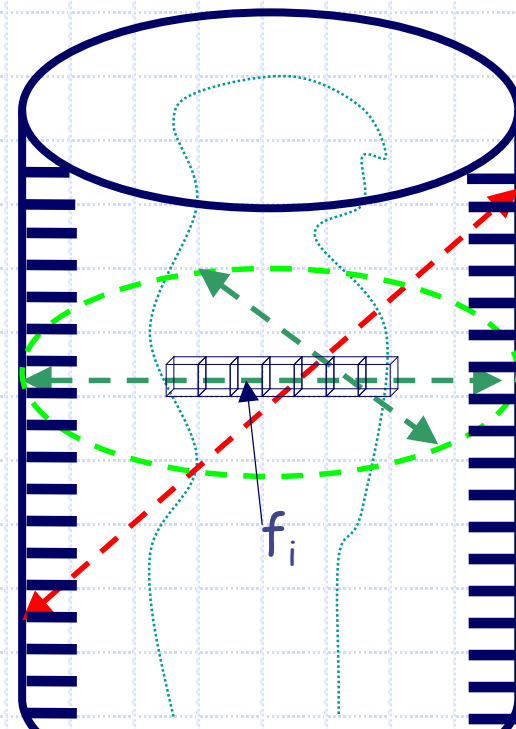
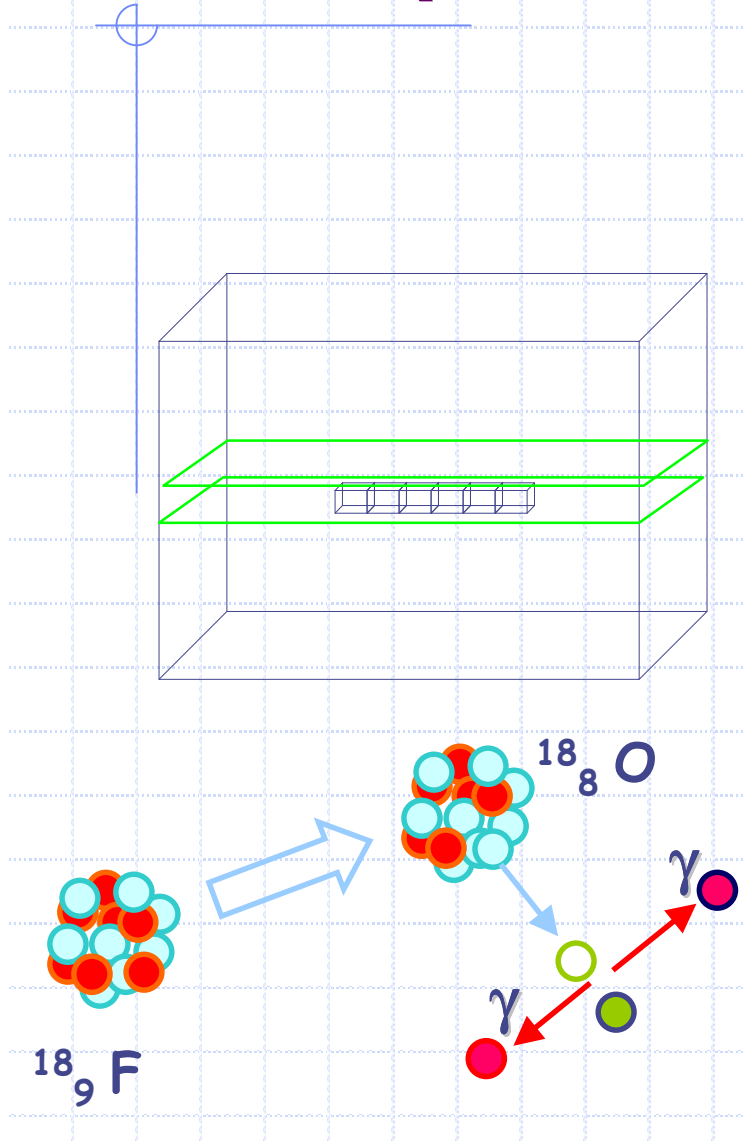
TOMOGRAPHIE 2D

TOMOGRAPHIE 3D

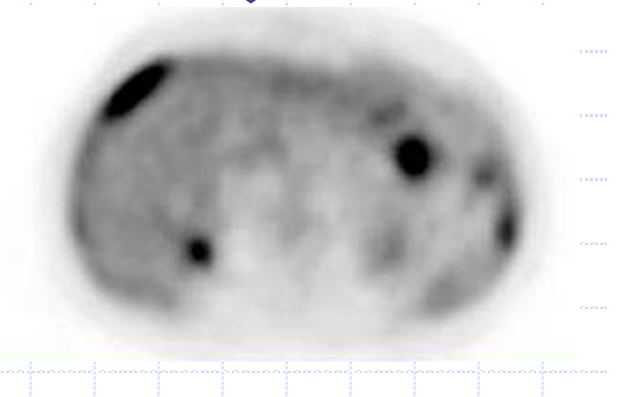
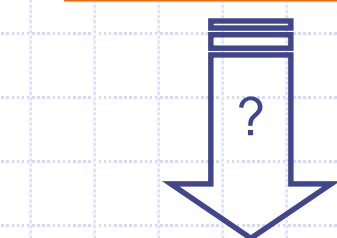
INTERPOLATIONS

SEGMENTATION

# TEP (PET-SCAN)



$$p^j = \sum R_i^j f_i$$



IMAGERIE

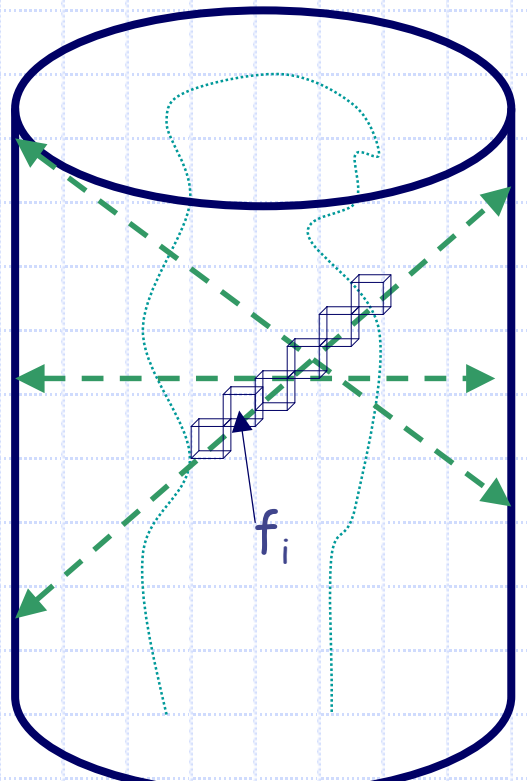
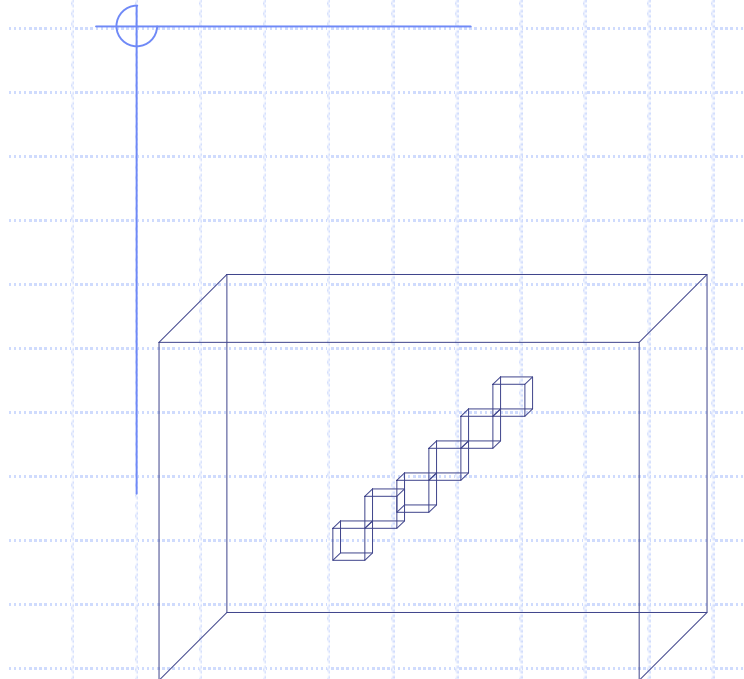
TOMOGRAPHIE 2D

TOMOGRAPHIE 3D

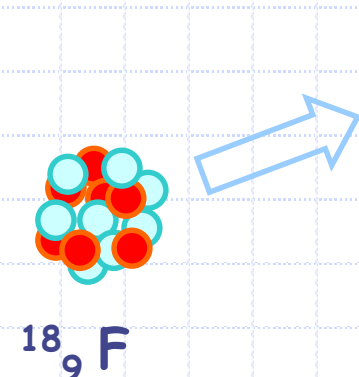
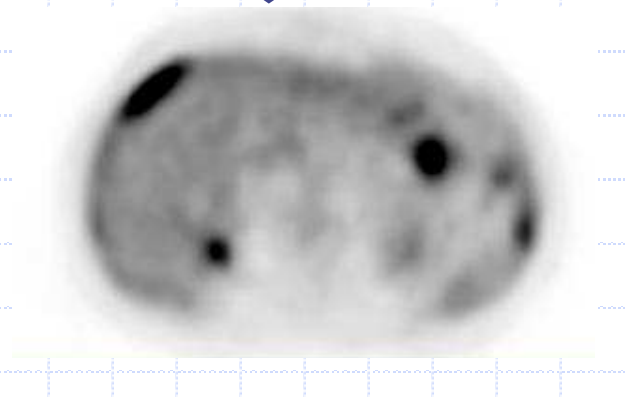
INTERPOLATIONS

SEGMENTATION

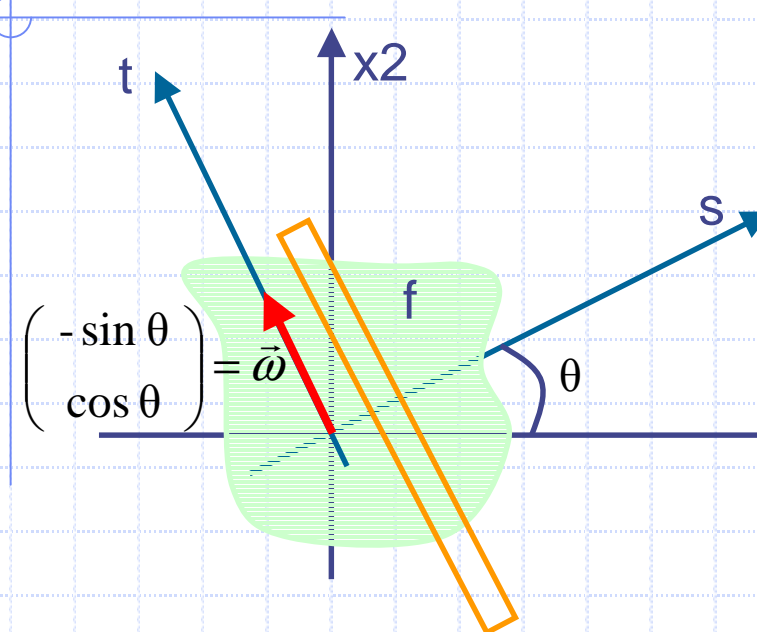
# TEP



$$p^j = \sum R_i^j f_i$$



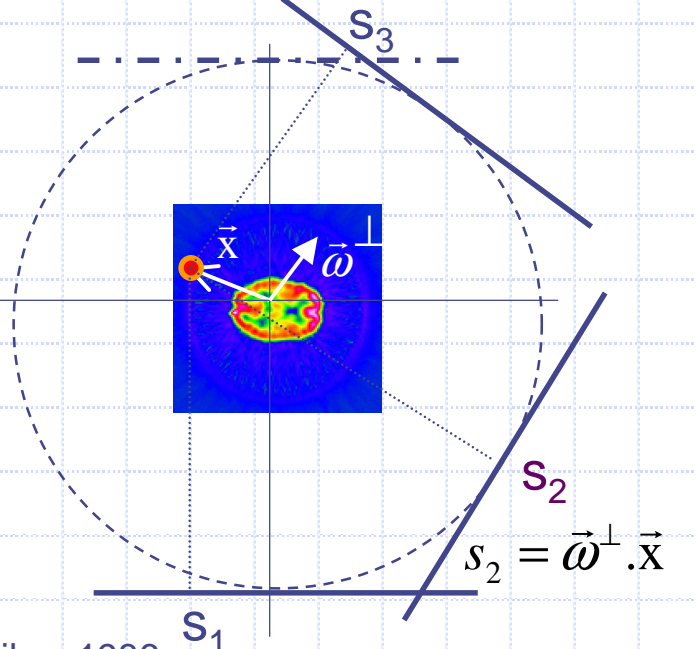
# Modélisation analytique



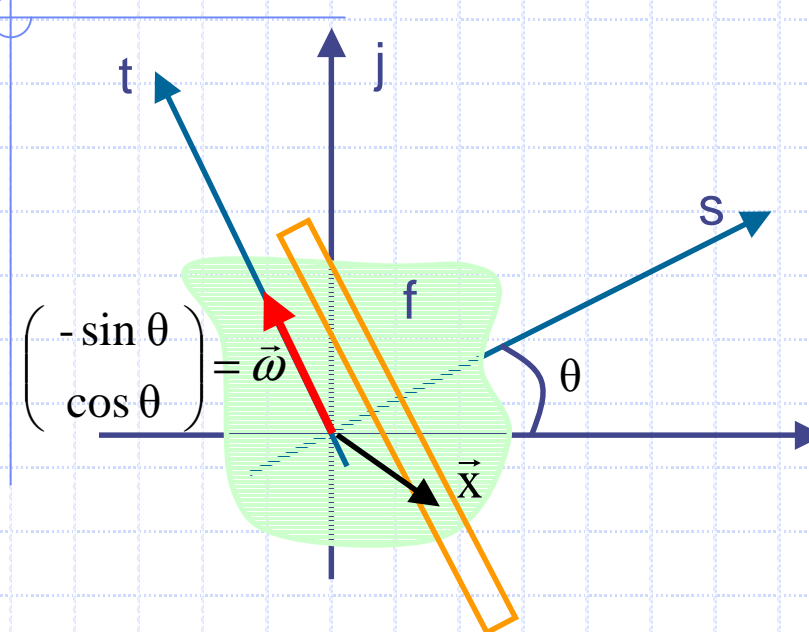
$$p(\vec{\omega}, s) = p_{\vec{\omega}}(s) = \int_t f(s \vec{\omega}^\perp + t \vec{\omega}) dt$$

$$p = Rf$$

$$(R^* p)(\vec{x}) = \int_{\theta=0}^{\pi} p(\vec{\omega}, \vec{\omega}^\perp \cdot \vec{x}) d\theta$$



# Théorème de la projection



$$p_{\vec{\omega}}(s) = \int_t f(s\vec{\omega}^\perp + t\vec{\omega}) dt$$

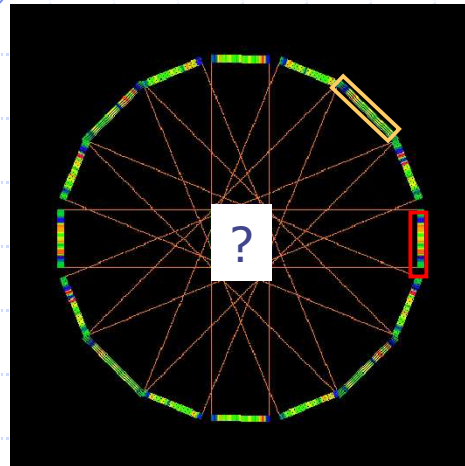
$$\hat{p}_{\vec{\omega}}(\sigma) = \int_s p_{\vec{\omega}}(s) e^{-i.s.\sigma} ds$$

$$\hat{p}_{\vec{\omega}}(\sigma) = \int_s \int_t f(s\vec{\omega}^\perp + t\vec{\omega}) e^{-i.s.\sigma} dt ds$$

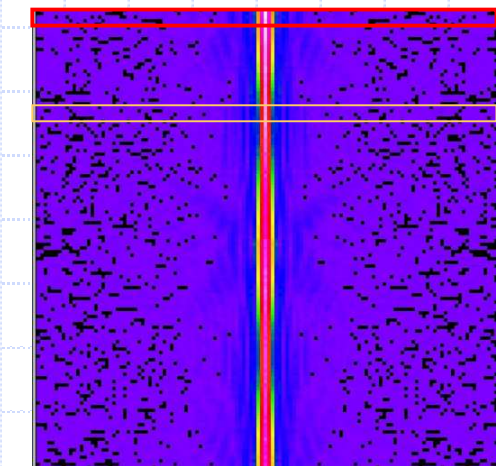
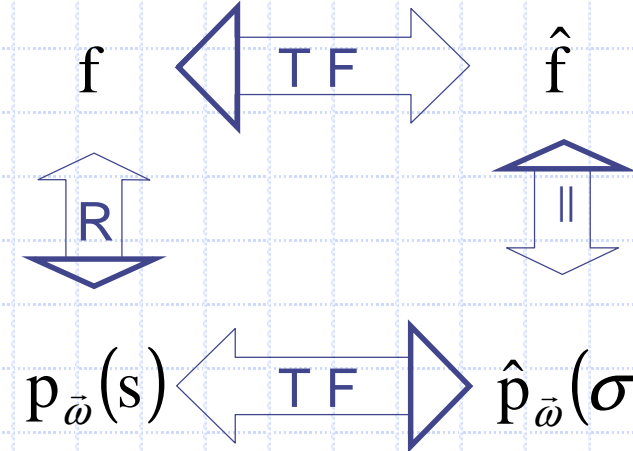
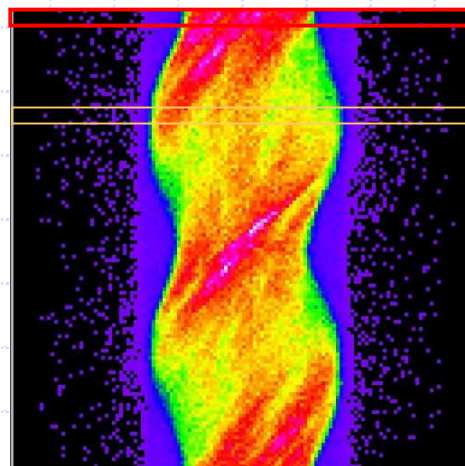
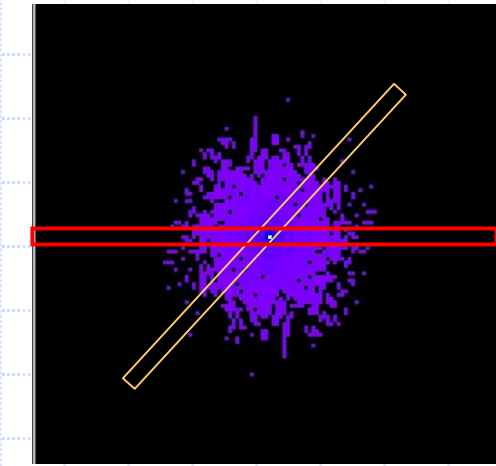
$$\hat{p}_{\vec{\omega}}(\sigma) = \int \int f(\vec{x}) e^{-i.\sigma \vec{x}.\vec{\omega}^\perp} d\vec{x}$$

$$\hat{p}_{\vec{\omega}}(\sigma) = \hat{f}(\sigma \cos \theta, \sigma \sin \theta) = \hat{f}(\sigma \cdot \vec{\omega}^\perp)$$

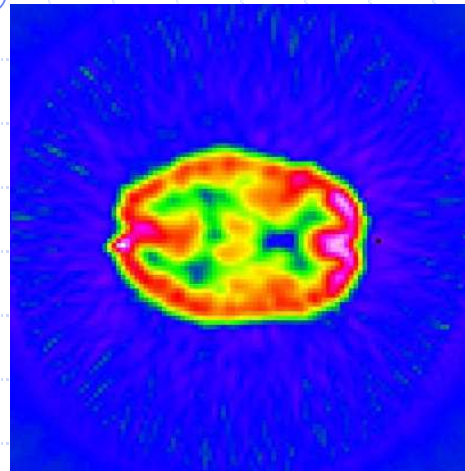
# Théorème de la projection



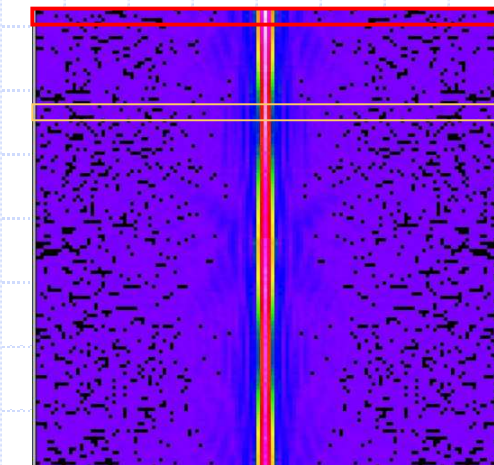
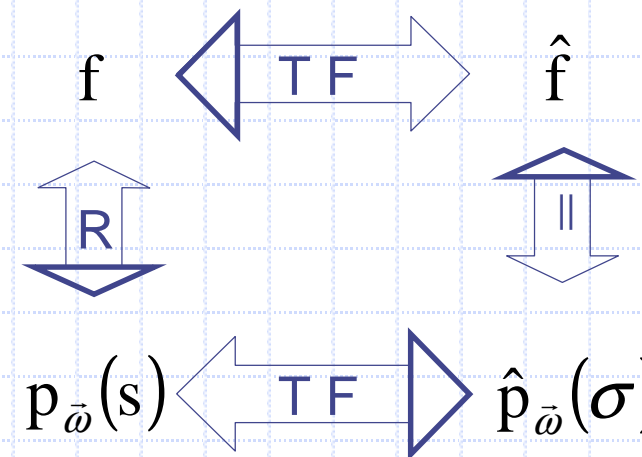
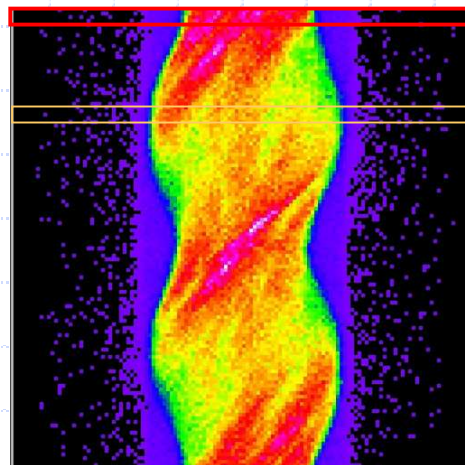
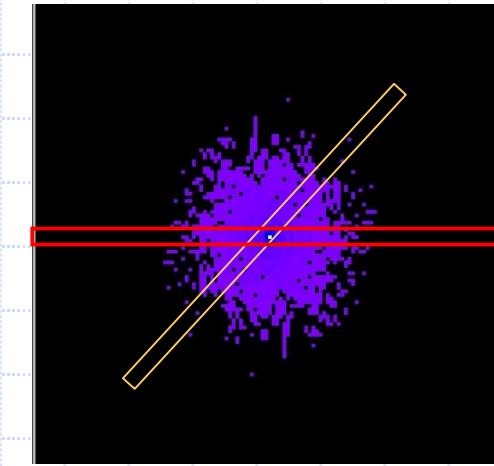
$$\hat{p}_{\vec{\omega}}(\sigma) = \hat{f}(\sigma \cdot \vec{\omega}^\perp)$$



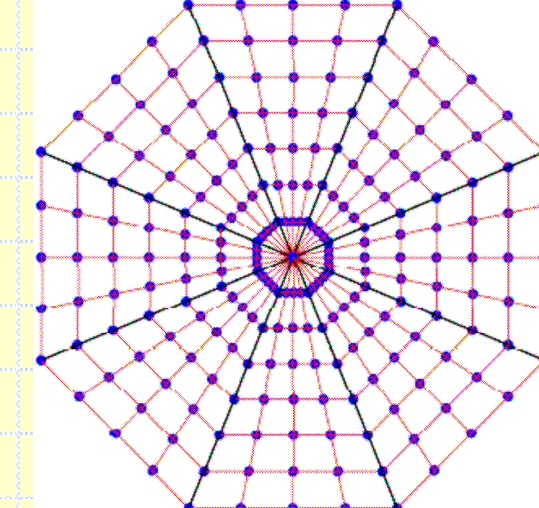
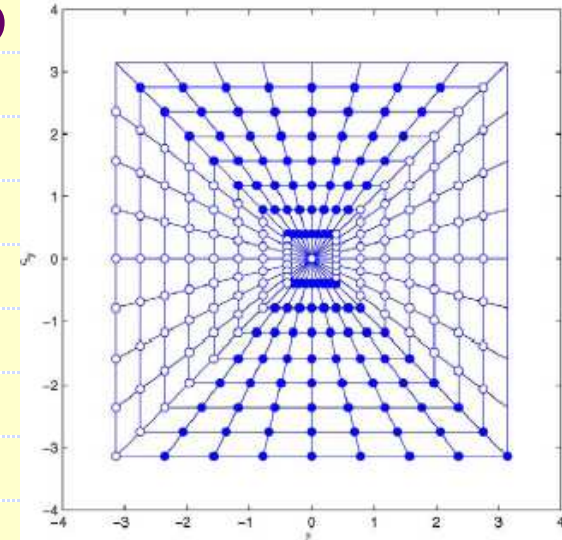
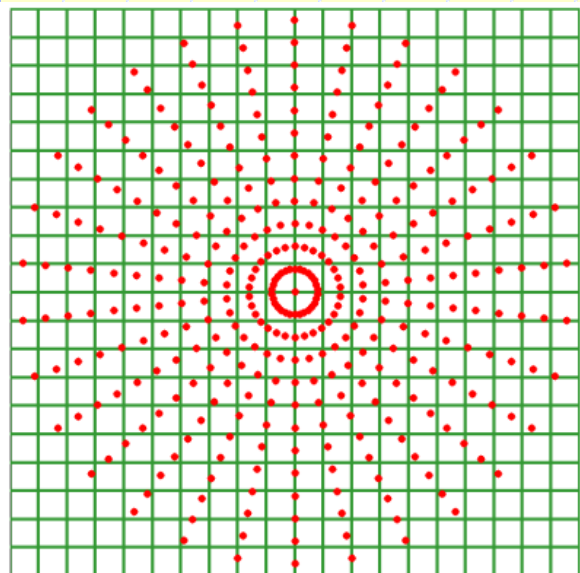
# Théorème de la projection



$$\hat{p}_{\vec{\omega}}(\sigma) = \hat{f}(\sigma \cdot \vec{\omega}^\perp)$$



# FFT polaire ?



# Fast Fourier Transform (FFT)

$$\hat{s}(v) = \sum_{k=0}^{N-1} s(k) \cdot e^{-j \cdot (k\omega_0)v} = \sum_{k=0}^{N-1} s(k) \cdot W_N^{kv}$$

$$W_N = e^{-j \cdot \frac{2\pi}{N}} = e^{-j \cdot \omega_0}$$

$$W_N = \cos\left(\frac{2\pi}{N}\right) - j \cdot \sin\left(\frac{2\pi}{N}\right)$$

$$\begin{aligned} \hat{s}(v) &= \sum_{k=0}^{\frac{N}{2}-1} s(2k) \cdot W_N^{2k \cdot v} + \sum_{k=0}^{\frac{N}{2}-1} s(2k+1) \cdot W_N^{(2k+1) \cdot v} \\ &= \sum_{k=0}^{\frac{N}{2}-1} s(2k) \cdot W_N^{2k \cdot v} + W_N^v \sum_{k=0}^{\frac{N}{2}-1} s(2k+1) \cdot W_N^{2k \cdot v} \\ &= \sum_{k=0}^{\frac{N}{2}-1} s(2k) \cdot W_{N/2}^{k \cdot v} + W_N^v \sum_{k=0}^{\frac{N}{2}-1} s(2k+1) \cdot W_{N/2}^{k \cdot v} \\ &= G(v) + W_N^v \cdot H(v) \end{aligned}$$

# Fast Fourier Transform (FFT)

TF sur N points

TF sur N/2 points

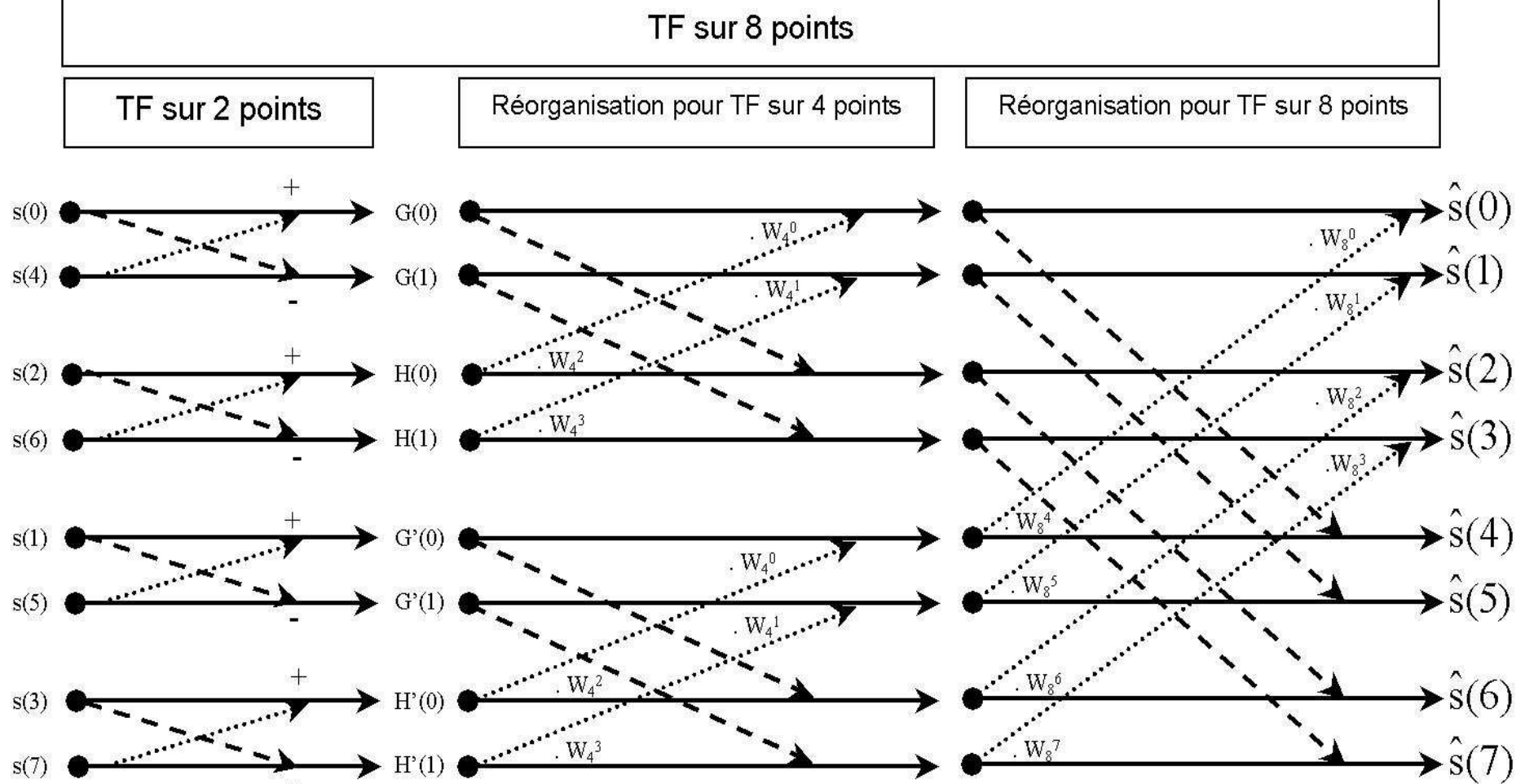
$$\hat{s}(\nu) = G(\nu) + W_N^\nu \cdot H(\nu)$$

$$\cos\left(\frac{2\pi\nu}{N}\right) - j \cdot \sin\left(\frac{2\pi\nu}{N}\right)$$

TF sur 2 points:  $\hat{s}(\nu) = \sum_{k=0}^1 s(k) \cdot e^{-j \cdot (k \frac{2\pi}{2})\nu} = s(0) + (-1)^\nu s(1)$

Complexité  $N^2 \rightarrow N \cdot \log_2 N$  ( $512^2 \rightarrow 512 \times 9$  i.e. 57 fois moins)

# Algorithme FFT



# Rétrorprojection filtrée

$$f(\vec{x}) = \iint \hat{f}(\vec{\xi}) e^{i\vec{x}\cdot\vec{\xi}} d\vec{\xi}$$

$$f(\vec{x}) = \int_{\theta=0}^{\pi} \int_{\sigma=-\infty}^{\sigma=+\infty} \hat{f}(\sigma \vec{\omega}^\perp) e^{i\sigma \vec{\omega}^\perp \cdot \vec{x}} |\sigma| d\sigma d\theta$$

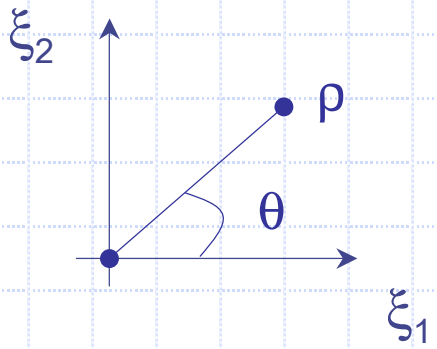
$$f(\vec{x}) = \int_{\theta=0}^{\pi} \int_{\sigma=-\infty}^{\sigma=+\infty} \hat{p}_{\vec{\omega}}(\sigma) |\sigma| e^{i\sigma \vec{\omega}^\perp \cdot \vec{x}} d\sigma d\theta$$



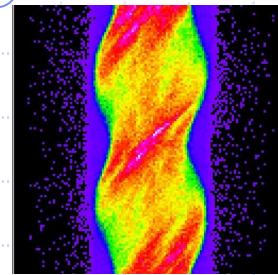
1887-1956

$$\underbrace{\text{TF}_s^{-1} [\hat{p}_{\vec{\omega}} \cdot \text{abs}]}_{p'_{\vec{\omega}}} (\vec{\omega}^\perp \cdot \vec{x})$$

$$f(\vec{x}) = (R^* p')(\vec{x})$$

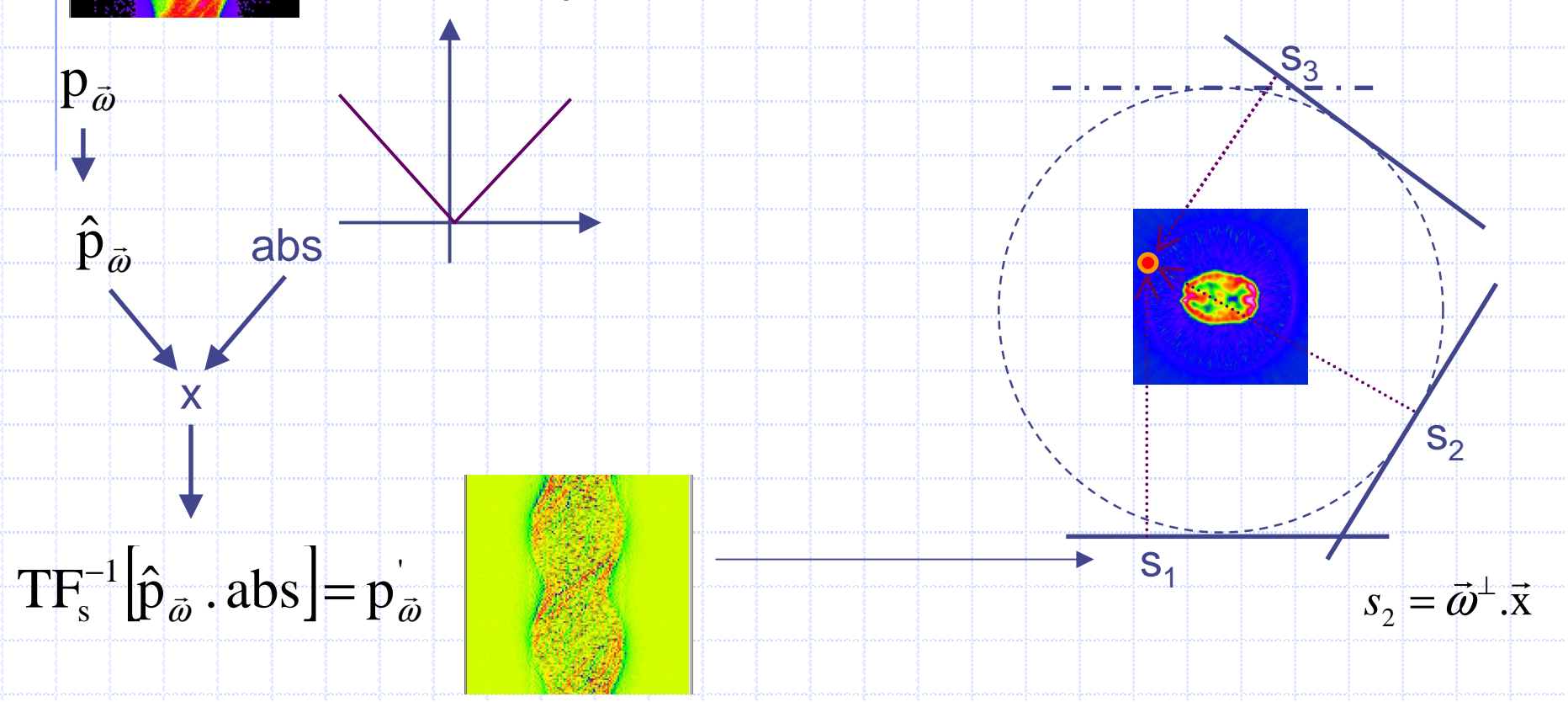


# Rétroprojection filtrée



$$f(\vec{x}) = (R^* p')(\vec{x})$$

Projections sur 180°



IMAGERIE

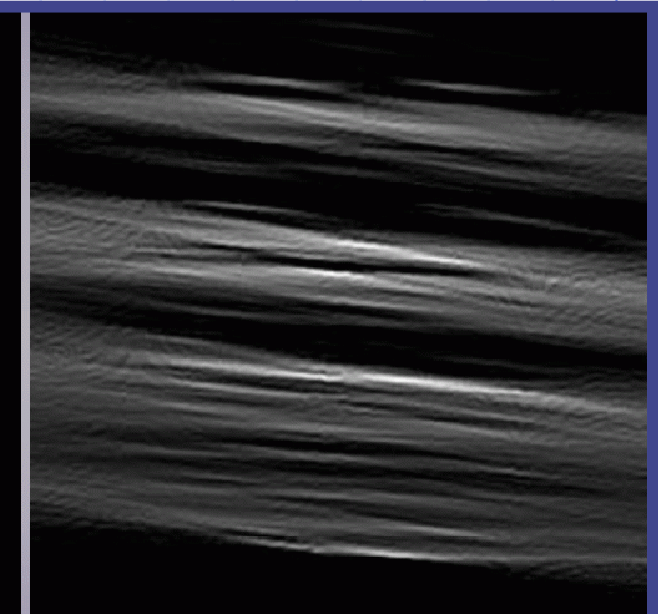
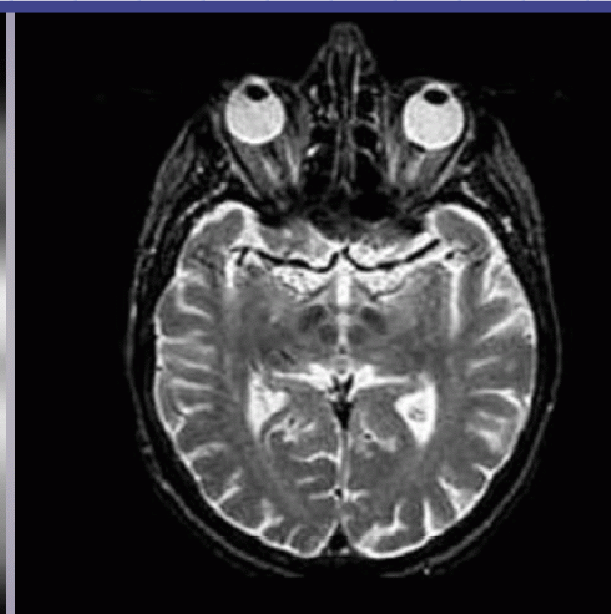
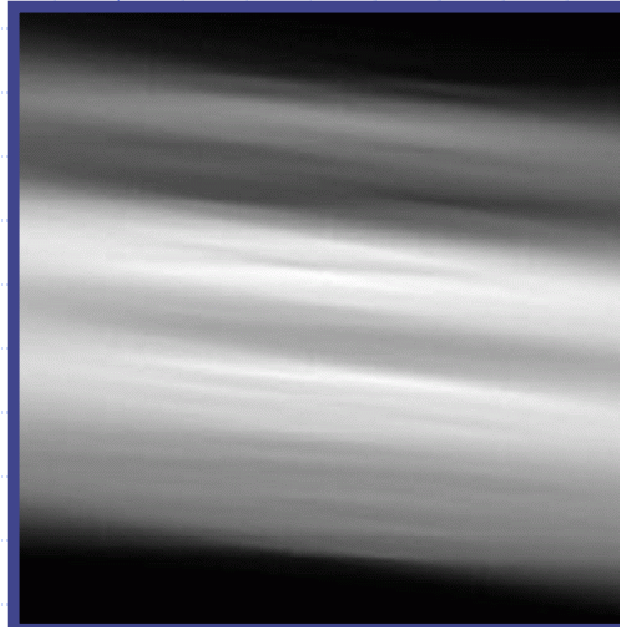
TOMOGRAPHIE 2D

TOMOGRAPHIE 3D

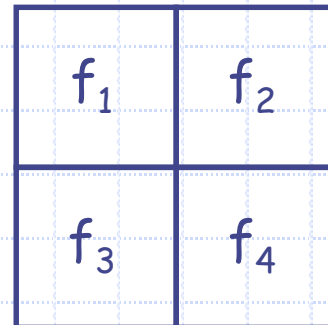
INTERPOLATIONS

SEGMENTATION

# Rétrorprojection filtrée



# Modélisation algébrique



$$p_1 = r_{1,1} f_1 + r_{1,2} f_2$$

$$p_2 = r_{2,3} f_3 + r_{2,4} f_4$$

$$p_3 = r_{3,1} f_1 + r_{3,3} f_3$$

$$p_4 = r_{4,2} f_2 + r_{4,4} f_4$$

$$\begin{pmatrix} r_{1,1} & r_{1,2} & r_{1,3} & r_{1,4} \\ r_{2,1} & r_{2,2} & r_{2,3} & r_{2,4} \\ r_{3,1} & r_{3,2} & r_{3,3} & r_{3,4} \\ r_{4,1} & r_{4,2} & r_{4,3} & r_{4,4} \end{pmatrix} \cdot \begin{pmatrix} f_1 \\ f_2 \\ f_3 \\ f_4 \end{pmatrix} = \begin{pmatrix} p_1 \\ p_2 \\ p_3 \\ p_4 \end{pmatrix}$$

$r_{i,j} = \% \text{ du pixel } j \text{ intersecté par la projection } i$

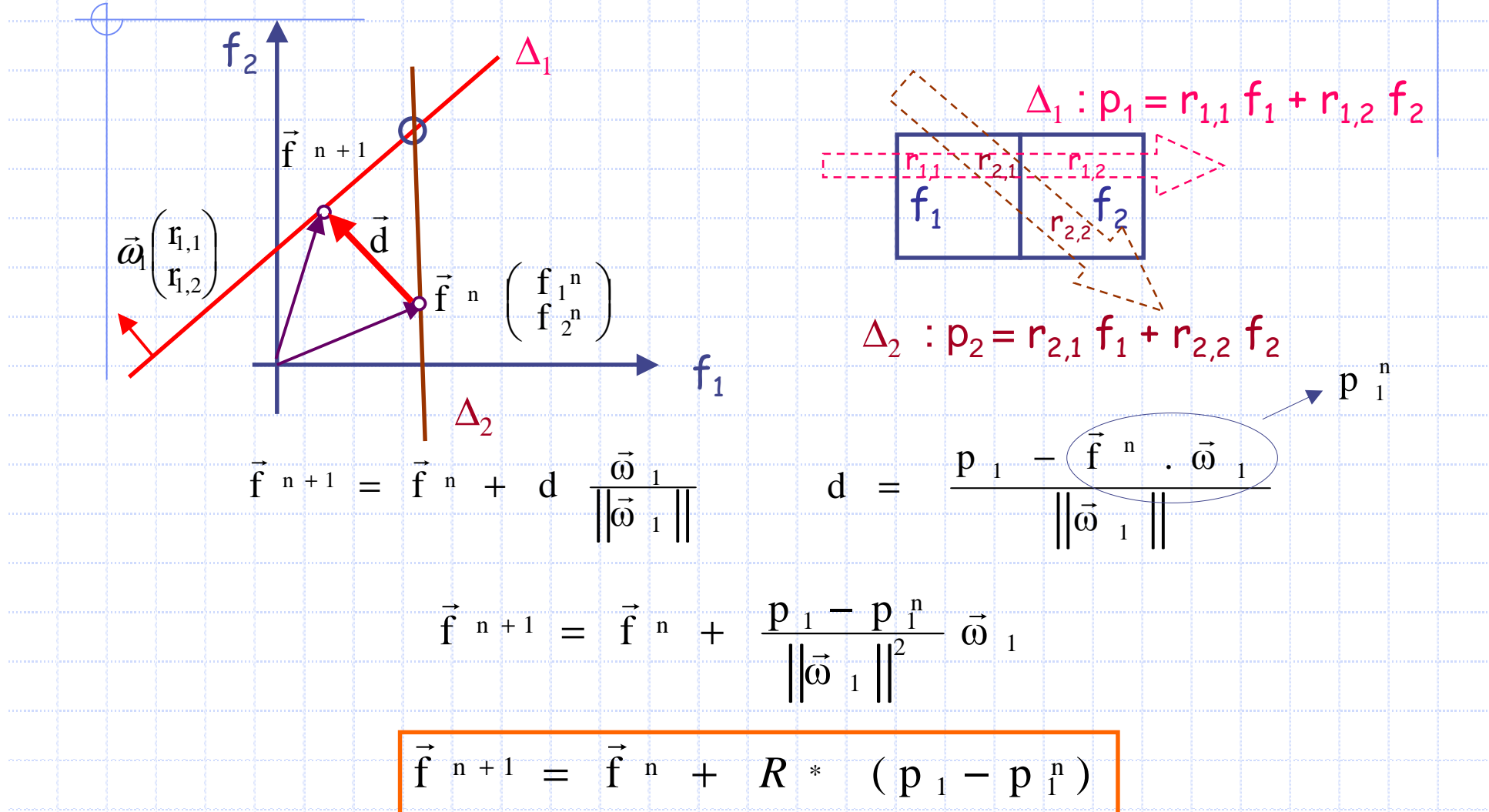
$$R \cdot \vec{f} = \vec{p}$$

$$\begin{pmatrix} r_{1,1} & r_{2,1} & r_{3,1} & r_{4,1} \\ r_{1,2} & r_{2,2} & r_{3,2} & r_{4,2} \\ r_{1,3} & r_{2,3} & r_{3,3} & r_{4,3} \\ r_{1,4} & r_{2,4} & r_{3,4} & r_{4,4} \end{pmatrix} \cdot \begin{pmatrix} p_1 \\ p_2 \\ p_3 \\ p_4 \end{pmatrix} = \begin{pmatrix} b_1 \\ b_2 \\ b_3 \\ b_4 \end{pmatrix}$$

$$\begin{array}{c|c|c|c} b_1 = r_{1,1} p_1 + r_{3,1} p_3 & b_2 = r_{1,2} p_1 + r_{4,2} p_4 & & \\ \hline & & b_3 = r_{2,3} p_2 + r_{3,3} p_3 & \\ & & & b_4 = r_{2,4} p_2 + r_{4,4} p_4 \end{array}$$

$${}^t R \cdot \vec{p} = \vec{b}$$

# Algebraic Reconstruction Technique



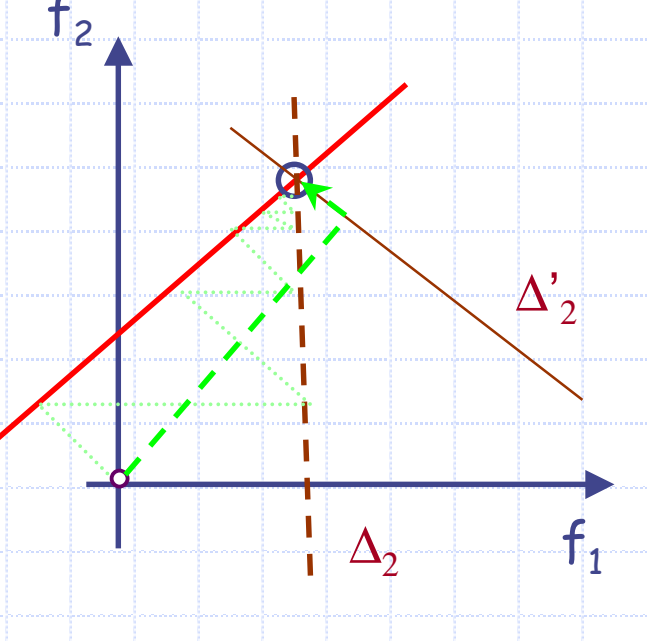
# MLEM et OSEM

Maximiser

$$\log[P(p'/f)] = \log \left[ \prod_{i=1}^K \frac{e^{-p_i} p_i^{p'_i}}{p'_i!} \right]$$

$$f_i^{n+1} = f_i^n \cdot \frac{1}{\sum_{l'=1}^K r_{l',i}} \sum_{l=1}^K r_{l,i} \frac{p_l}{\sum_{s=1}^N r_{l,s} f_s^n}$$

$$R^* \left[ \frac{p_1^n}{p_1} \right]$$



# Problème bien conditionné ?

✓ En continu : R opérateur bijectif d'inverse continue (Hadamard).

✓ En discret :

- surjectivité  $\Leftrightarrow {}^t R.R\vec{f} = A\vec{f} = {}^t R.\vec{p} = \vec{q}$

- qui revient à minimiser  $\|\vec{R}\vec{f} - \vec{p}\|^2$

- R injectif ? choix parmi le solutions (initialisation)

- $R^{-1}$  continue mais  $\|R^{-1}\|$  grande :  $\kappa(R) = \|R\| \|R^{-1}\| = \frac{\lambda_{\max}}{\lambda_{\min}}$

$$\frac{\|\delta\vec{f}\|}{\|\vec{f}\|} \leq \frac{\kappa(R)}{1 - \kappa(R)} \frac{\|\delta\vec{R}\|}{\|\vec{R}\|} \left[ \frac{\|\delta\vec{p}\|}{\|\vec{p}\|} + \frac{\|\delta\vec{R}\|}{\|\vec{R}\|} \right]$$

# Régularisation

•  $\vec{f} = \arg \min_{\vec{f}} \left\{ \underbrace{\|\vec{p} - R\vec{f}\|^2}_{\text{surjectivité}} + \alpha \underbrace{\|\vec{f}\|^2}_{\text{injectivité}} \right\} \Leftrightarrow (R^* R + \alpha I) f = R^* p$

$$\vec{f} = (R^* R + \alpha I)^{-1} R^* p$$

•  $P(\vec{f} / \vec{p}) = P(\vec{p}/\vec{f}) \cdot P(\vec{f}) / P(\vec{p}) = P(\vec{p}/\vec{f}) \cdot P(\vec{f})$

$$\tilde{\vec{f}} = \arg \min_{\vec{f}} \left[ -\log P(\vec{p}/\vec{f}) - \log P(\vec{f}) \right]$$

Adéquation aux données

régularisation

# Gradient conjugué

$$\vec{f} = \arg \min_{f \in C} \|A\vec{f} - \vec{q}\|^2$$

$$\vec{d}^0 = \vec{r}^0 = A^* \cdot \vec{q}$$

$$\omega^j = \frac{\|\vec{r}^j\|^2}{\langle \vec{d}^j | A^* \cdot A \cdot \vec{d}^j \rangle}$$

$$\vec{r}^{j+1} = \vec{r}^j - \omega^j \cdot A^* \cdot A \cdot \vec{d}^j$$

$$\vec{d}^{j+1} = \vec{r}^{j+1} + \frac{\|\vec{r}^{j+1}\|^2}{\|\vec{r}^j\|^2} \cdot \vec{d}^j$$

$$\vec{f}^{j+1} = \vec{f}^j + \omega^j \cdot \vec{d}^j$$

# Matrice de Galerkine

$$\omega^j = \frac{\|\vec{r}^j\|^2}{\langle \vec{d}^j | R^* \cdot R \cdot \vec{d}^j \rangle}$$

$$\beta^j = \frac{\|\vec{r}^{j+1}\|^2}{\|\vec{r}^j\|^2}$$

$$G^j = \begin{pmatrix} \frac{1}{\omega^0} & -\frac{\sqrt{\beta^0}}{\omega^0} & 0 & 0 \\ -\frac{\sqrt{\beta^0}}{\omega^0} & \frac{1}{\omega^1 + \omega^0} & \ddots & 0 \\ 0 & \ddots & \ddots & -\frac{\sqrt{\beta^{j-1}}}{\omega^{j-1}} \\ 0 & 0 & -\frac{\sqrt{\beta^{j-1}}}{\omega^{j-1}} & \frac{1}{\omega^j + \omega^{j-1}} \end{pmatrix}$$

# Régularisation statistique

$$P(\vec{f} / \vec{p}) = P(\vec{p}/\vec{f}) \cdot P(\vec{f})/P(\vec{p}) = P(\vec{p}/\vec{f}) \cdot P(\vec{f})$$

$$\tilde{\vec{f}} = \arg \min_{\vec{f}} \left[ -\log P(\vec{p}/\vec{f}) + \log P(\vec{f}) \right]$$

Adéquation aux données

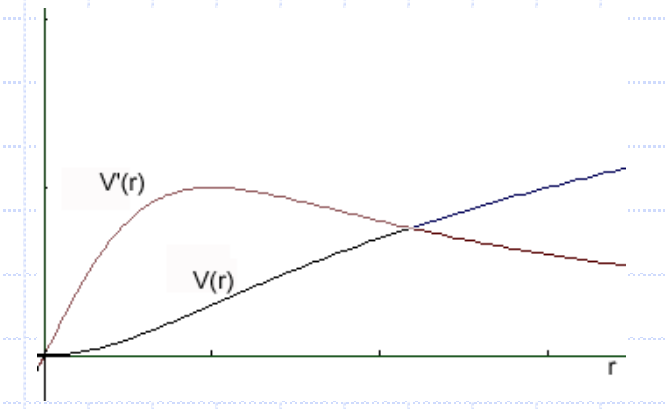
régularisation

Distribution de Gibbs :  $P(\vec{f}) = \frac{1}{K} e^{-\beta \sum_{i,j} w_{i,j} V(f_i - f_j)}$

$$-\beta \sum_{i,j} w_{i,j} V(f_i - f_j)$$

$$\tilde{\vec{f}} = \arg \min_{\vec{f}} \left[ -\log P(\vec{p}/\vec{f}) + \beta \sum_{i,j} w_{i,j} V(f_i - f_j) \right]$$

MAP-EM-OSL



# Contrôle de convergence

Evaluation de la stabilité :

$$\kappa(R) = \frac{\lambda_{\max}}{\lambda_{\min}}$$

Erreur inverse (backward error) :

$$\varepsilon(\vec{x}) = \underset{\delta A, \delta \vec{q}}{\text{Min}} \left\{ \text{Max} \left( \frac{\|\delta A\|}{\alpha}, \frac{\|\delta \vec{q}\|}{\beta} \right) / (A + \delta A) \vec{x} = \vec{q} + \delta \vec{q} \right\}$$

$$\varepsilon(\vec{x}) = \frac{\|A \vec{x} - \vec{q}\|}{\alpha \|\vec{x}\| + \beta}$$

$$\beta = 0, \|\delta \vec{q}\| = 0 \text{ et } \alpha = \|A\| \Rightarrow$$

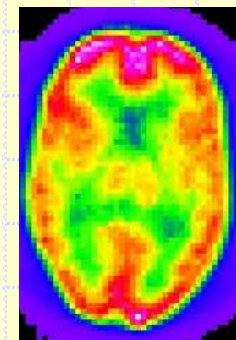
$$\varepsilon^j = \frac{1}{\lambda_{\max}} \frac{\|\vec{r}^j\|}{\|\vec{f}^j\|}$$

# Régularisation ?

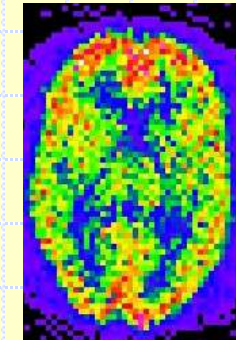
$$\vec{f} = \arg \min_{\vec{f} \in C} \left\{ \|L(\vec{p}) - R\vec{f}\|^2 + \|H(\vec{f})\|^2 \right\}$$

$$\vec{f} = \arg \min_{\vec{f}} \left[ -\log P(\vec{p}/\vec{f}) + \beta \sum_{i,j} w_{i,j} V(f_i - f_j) \right]$$

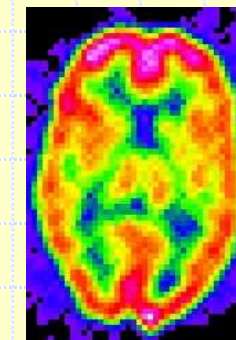
- Estimation du spectre et de l'erreur possibles.
- Choix optimal de L, H,  $\beta$ , w, V ?
- Pour ce choix, fréquences à l'itération i ?



MLEM 6



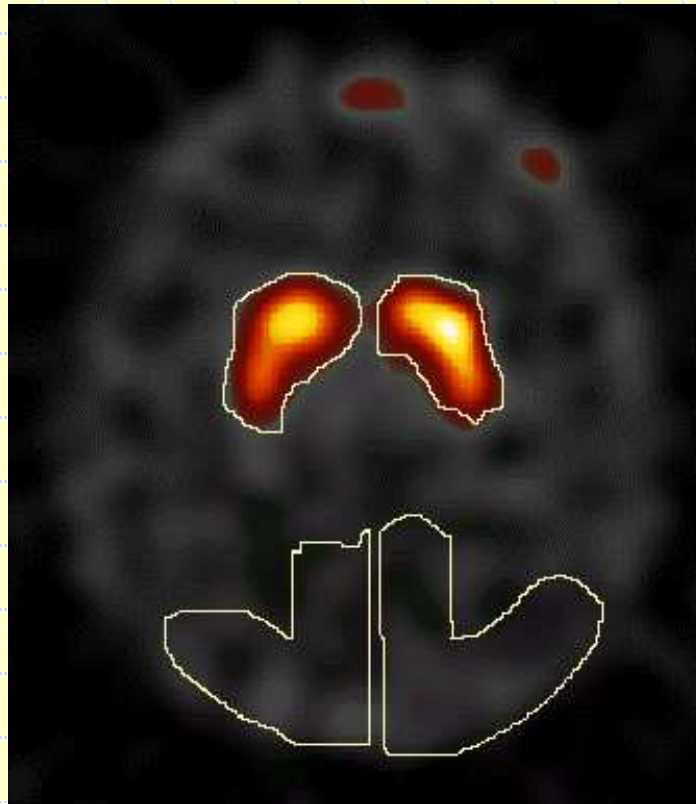
MLEM 200



FRECT

# Statistiques dans les coupes ?

$$S = (R^* R + H^* H)^{-1} R^* L$$



$$d\vec{f} = S d\vec{p} \Rightarrow \|d\vec{f}\| \leq \|S\| \cdot \|d\vec{p}\|$$

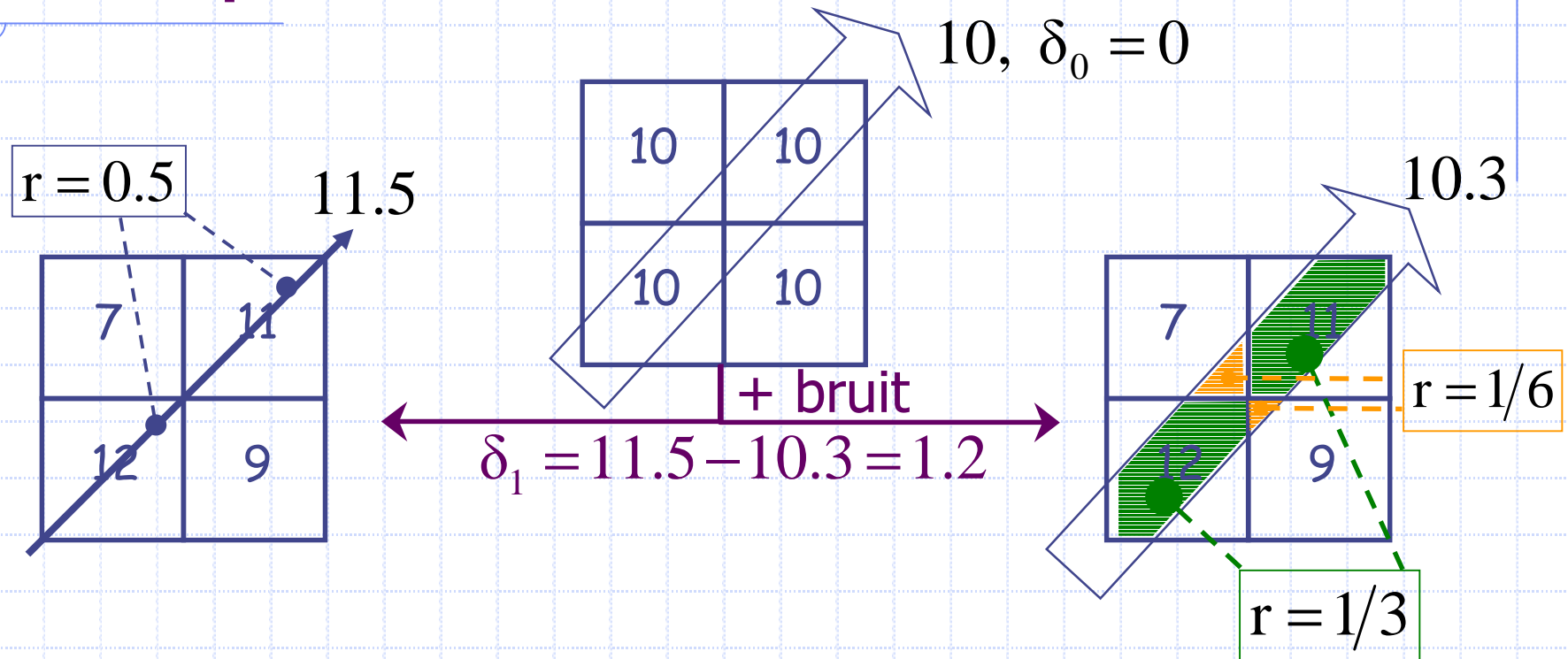
$$\text{Cov}(d\vec{f}) = S \cdot \text{Cov}(d\vec{p}) \cdot S^*$$

Calculs inextricables...

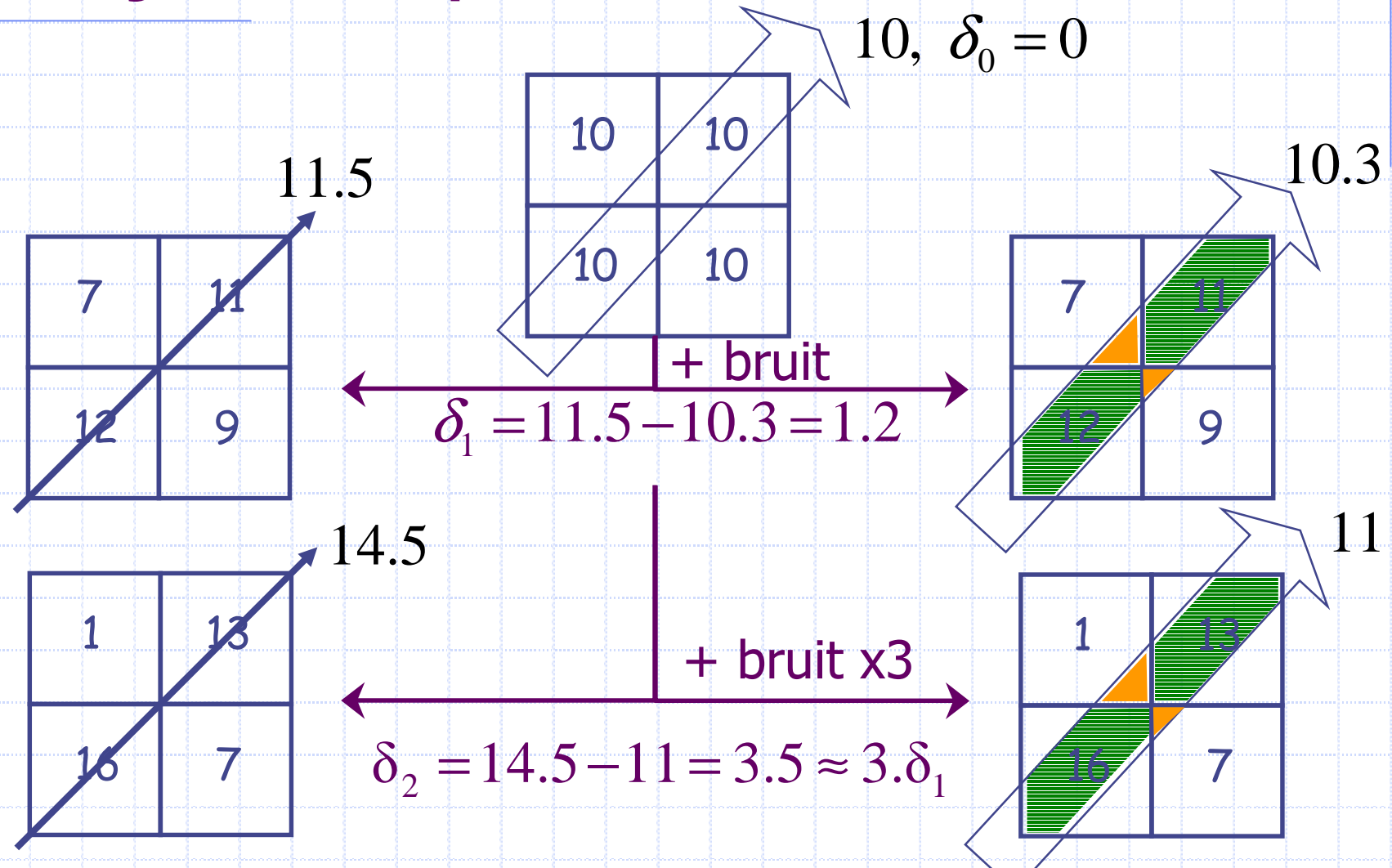
Alternatives ? :

- tomographie par intervalles  
(intégrales de Choquet).
- rapports de vraisemblances
- ...

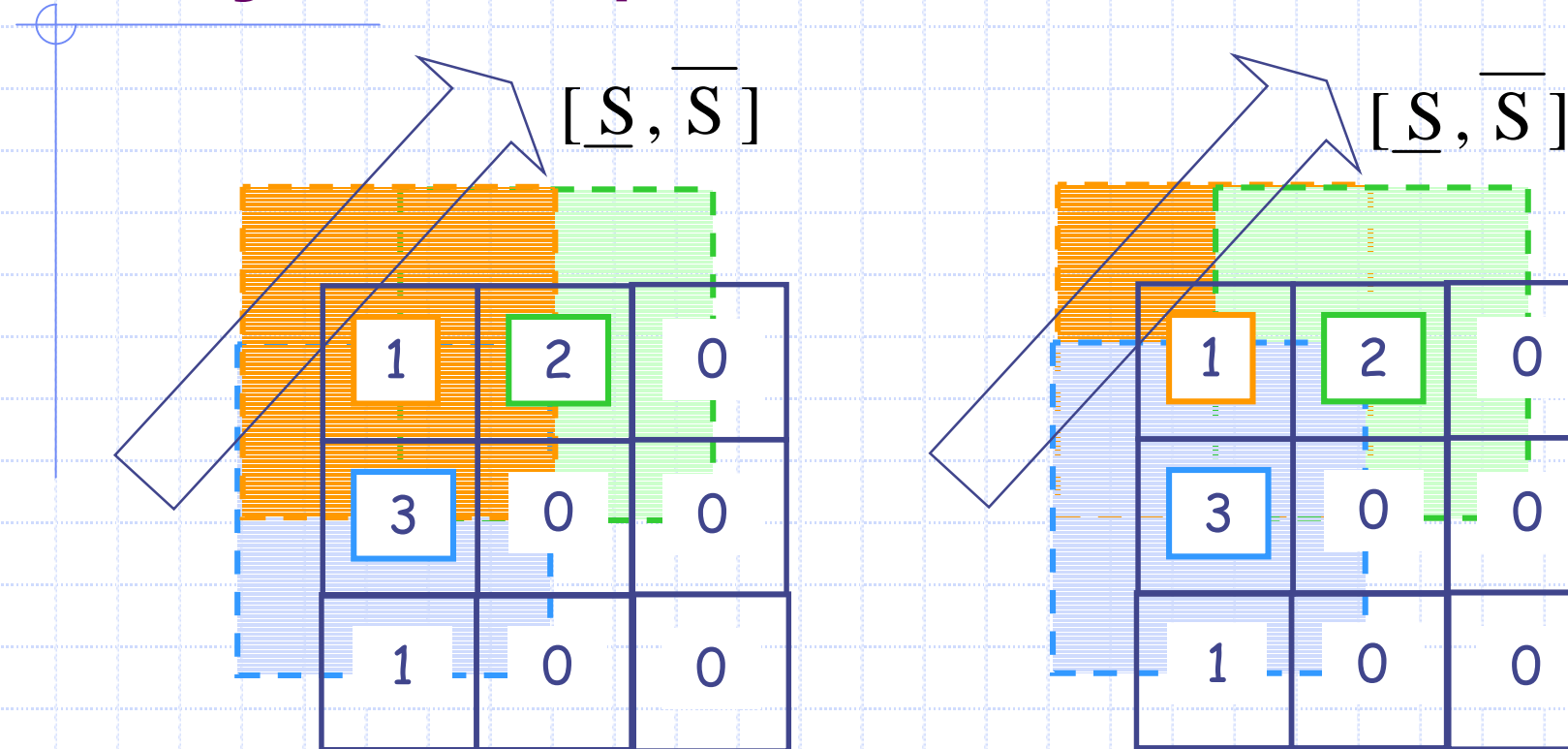
# Une piste ? ...



# Projection par intervalle & bruit



# Projection par intervalle



$$\underline{S} = (1.4 + 2.2 + 3.2)/8 = 1.8$$

$$\bar{S} = (3.4 + 2.3 + 1.1)/8 = 2.4$$

$$[S] = [1.8, 2.4]$$

# Modélisation rigoureuse

- ◆ Intégrale de Choquet asymétrique par rapport à une capacité
- ◆ Nos résultats montrent un lien fort entre le bruit dans la coupe et le diamètre de l'intervalle reconstruit
- ◆ La prise de décision à un niveau  $p$  donné reste un problème ouvert...

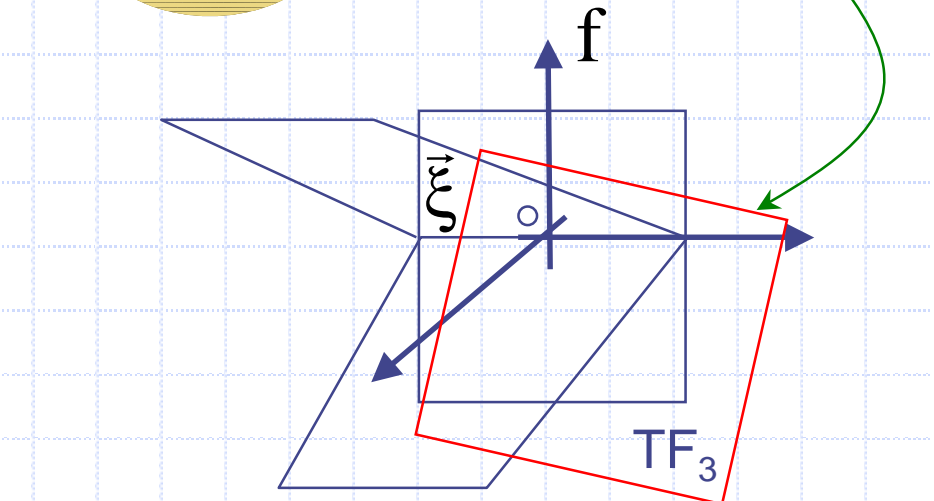
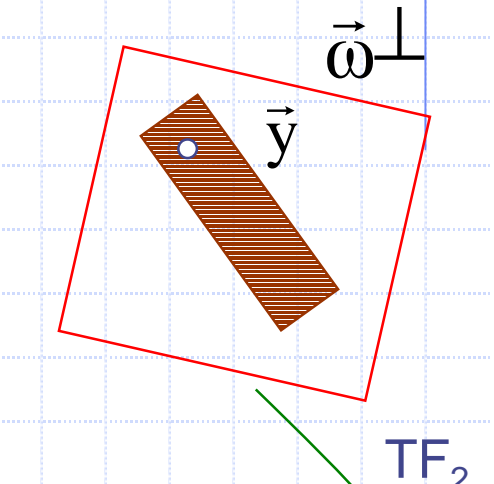
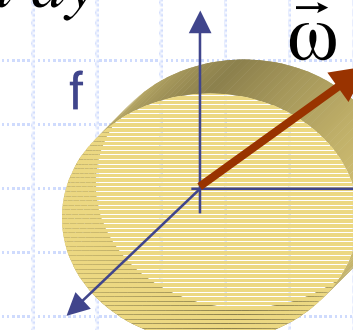
# Un théorème de Radon 3D...

$$\forall \vec{\omega} \in S, \quad \forall \vec{y} \in \vec{\omega}^\perp, \quad p_{\vec{\omega}}(\vec{y}) = \int f(\vec{y} + t\vec{\omega}) dt$$

$$\hat{p}_{\vec{\omega}}(\vec{\xi}) = \iint_{\vec{\omega}^\perp} \int f(\vec{y} + t\vec{\omega}) e^{-2i\pi \vec{y} \cdot \vec{\xi}} dt d\vec{y}$$

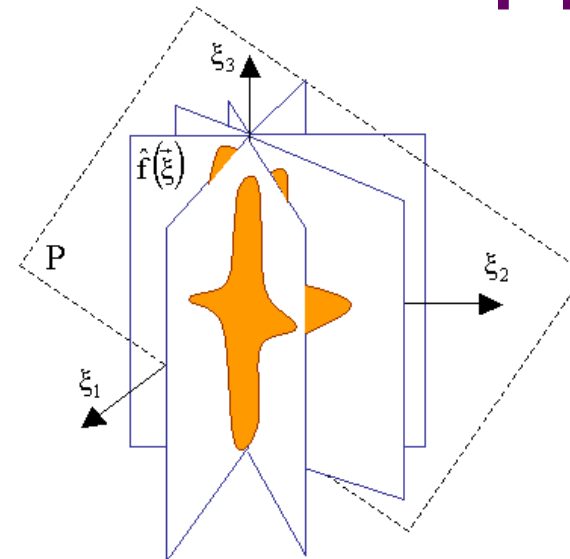
$$\hat{p}_{\vec{\omega}}(\vec{\xi}) = \iiint f(\vec{x}) e^{-2i\pi \vec{x} \cdot \vec{\xi}} d\vec{x} = \hat{f}(\vec{\xi})$$

$$\boxed{\forall \vec{\xi} \in \vec{\omega}^\perp, \hat{p}_{\vec{\omega}}(\vec{\xi}) = \hat{f}(\vec{\xi})}$$



... un peu difficile à appliquer...

1- Condition d'Orlov :

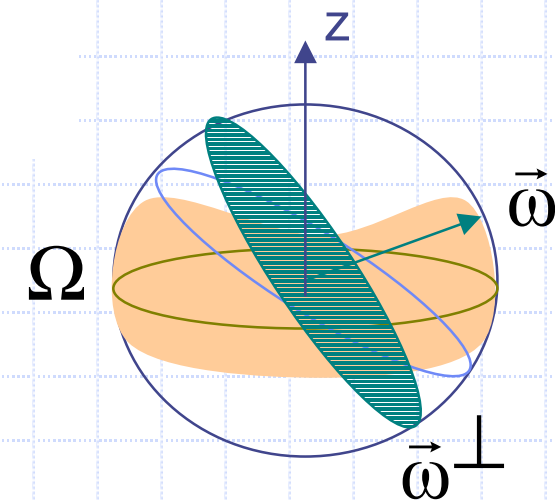


Si  $\Omega$  contient au moins un cercle équatorial de  $S$

(ou si  $\Omega$  intersecte tout cercle équatorial de  $S$ )

$$\forall \vec{\omega} \in \Omega \subset S,$$

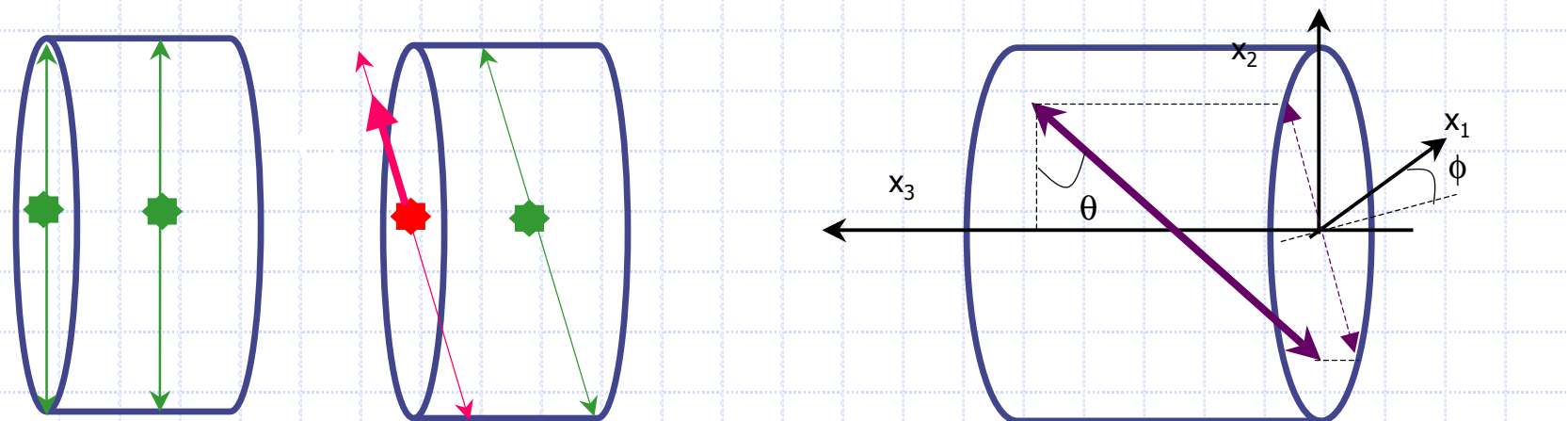
$$\boxed{\forall \eta \in \vec{\omega}^\perp, \hat{P}_{\vec{\omega}}(\eta) = \hat{f}(\eta)}$$



... plutôt difficile à appliquer...

1- Condition d'Orlov

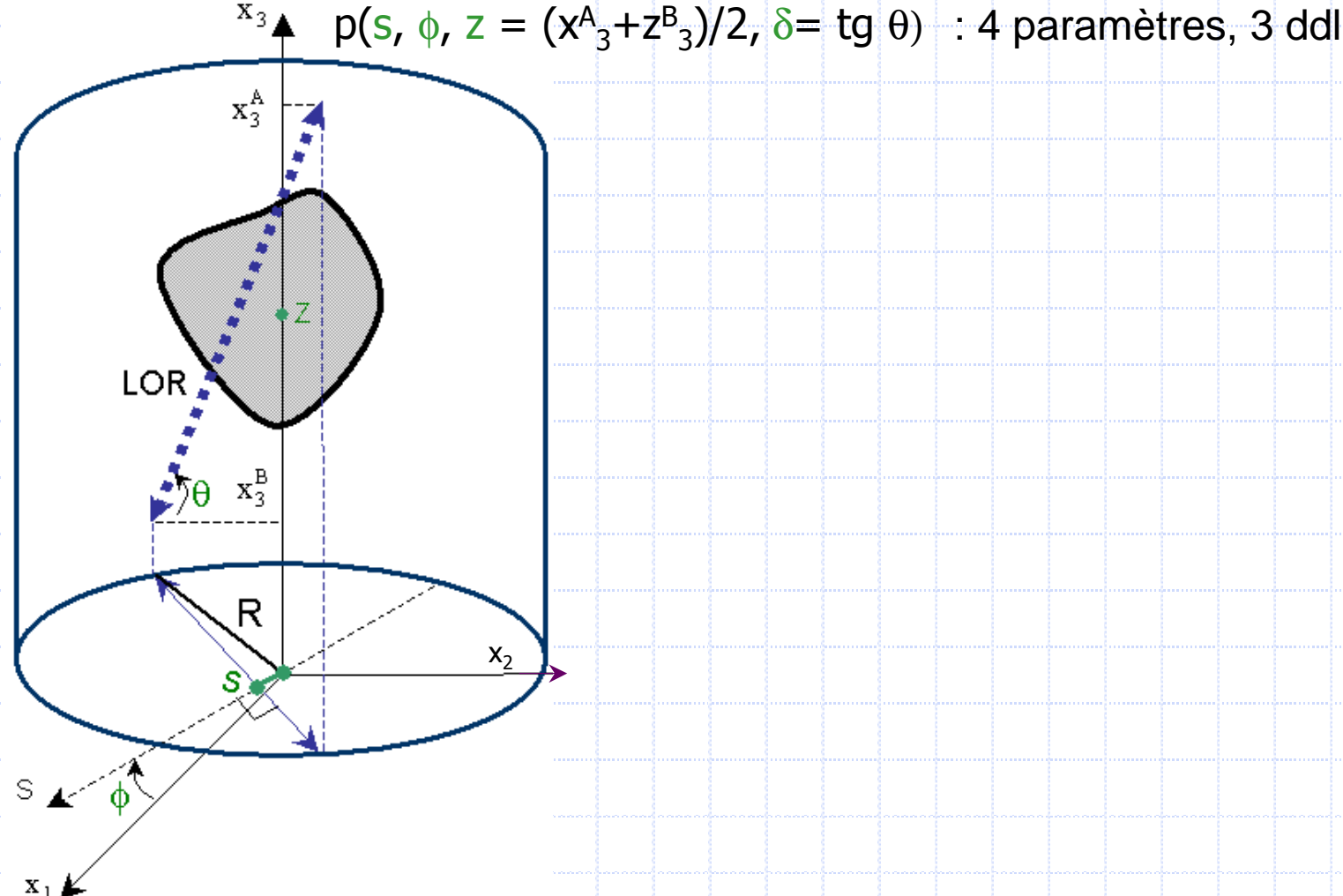
2 - si les projections ne sont pas tronquées (projections complètes)



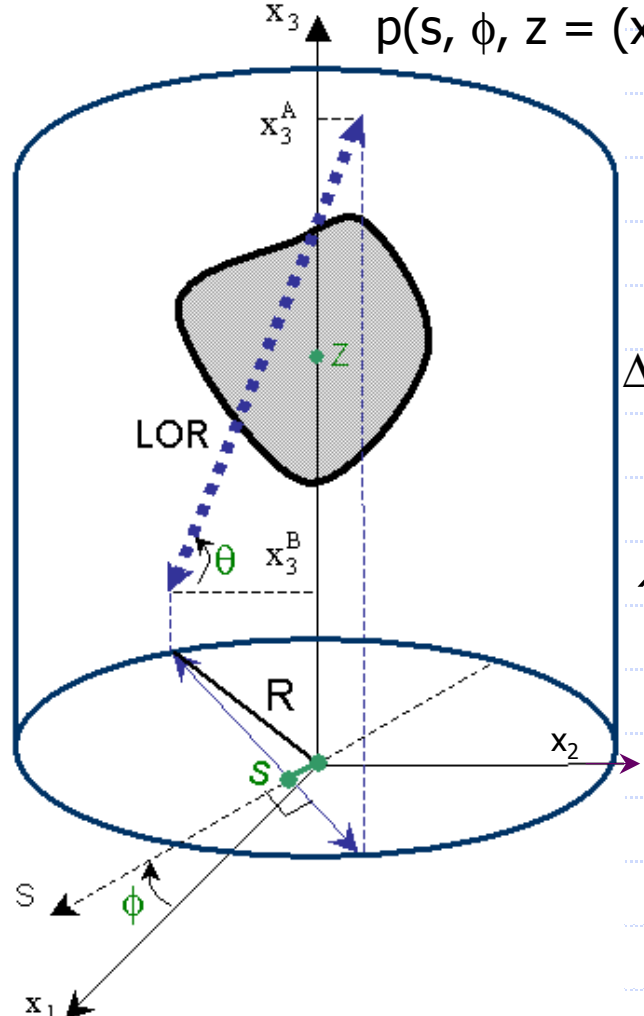
3 – moyennant une interpolation 3D dans le domaine des fréquences

$$\hat{p}(\xi_1, \xi_2) = \hat{f}(\xi_1 \cos \theta \sin \phi - \xi_2 \sin \theta, \xi_1 \sin \theta \sin \phi + \xi_2 \cos \theta, -\xi_1 \cos \phi)$$

# Synthèse de projections complètes



# Synthèse de projections complètes



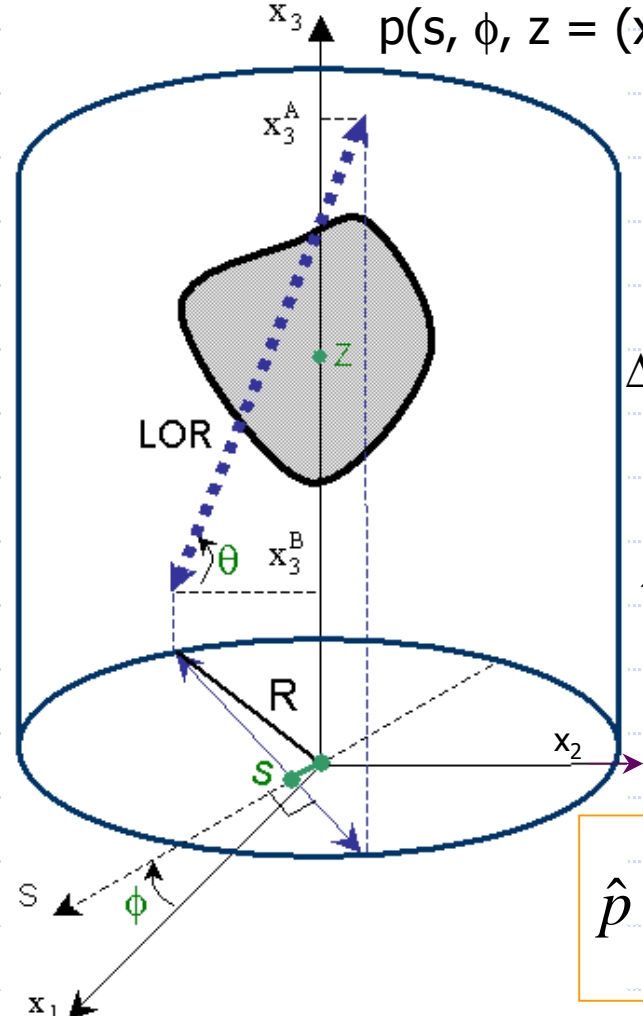
$p(s, \phi, z = (x_A^3 + x_B^3)/2, \delta = \tan \theta)$

$$\hat{p}(\sigma, k, \zeta, \delta) = e^{-i\Delta\Phi} \hat{p}(\chi\sigma, k, \zeta, \delta')$$

$$\Delta\Phi = k \left[ \operatorname{arctg} \left( \frac{\delta}{\sigma} \zeta \right) - \operatorname{arctg} \left( \frac{\delta'}{\chi\sigma} \zeta \right) \right], \quad \delta > \delta'$$

$$\chi = \sqrt{1 + (\delta^2 - \delta'^2) \frac{\zeta^2}{\sigma^2}}$$

# Synthèse de projections complètes



$p(s, \phi, z = (x_3^A + x_3^B)/2, \delta = \operatorname{tg} \theta) \rightarrow \text{TF3}$

$$\hat{p}(\sigma, k, \zeta, \delta) = e^{-i\Delta\Phi} \hat{p}(\chi\sigma, k, \zeta, \delta')$$

$$\Delta\Phi = k \left[ \operatorname{arctg} \left( \frac{\delta}{\sigma} \zeta \right) - \operatorname{arctg} \left( \frac{\delta'}{\chi\sigma} \zeta \right) \right], \quad \delta > \delta'$$

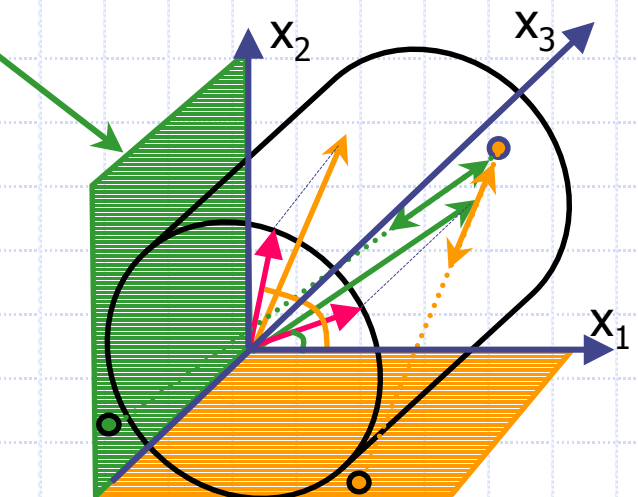
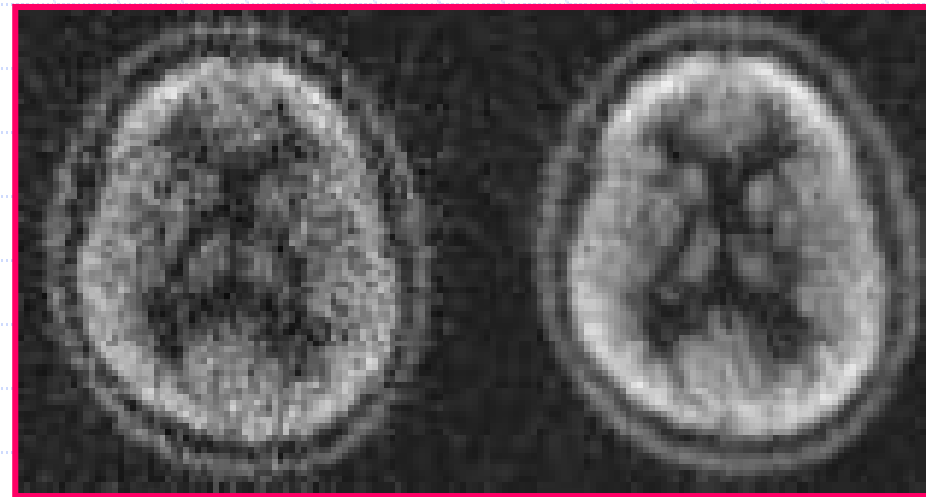
$$\chi = \sqrt{1 + (\delta^2 - \delta'^2) \frac{\zeta^2}{\sigma^2}}$$

DL en  $O\left(\left(\frac{\delta}{\sigma} \zeta\right)^2\right)$

$$\hat{p}(\sigma, k, z, \delta) \approx \hat{p}\left(\sigma, k, z - k \frac{(\delta - \delta')}{\sigma}, \delta'\right)$$

# Optimisation de l'interpolation

$$\hat{p}_w(\xi_1, \xi_2) = \frac{1}{|\sin\theta \sin\varphi|} \left[ \hat{f}(\xi_1, -\frac{\xi_1}{\tan\theta} - \frac{\xi_2}{\sin\theta \tan\varphi}, \xi_2) \right]$$



$$\hat{p}_w(\xi_1, \xi_2) = \frac{1}{|\cos\theta \sin\varphi|} \left[ \hat{f}(-\xi_1 \tan\theta - \frac{\xi_2}{\tan\varphi \cos\theta}, \xi_1, \xi_2) \right]$$

IMAGERIE

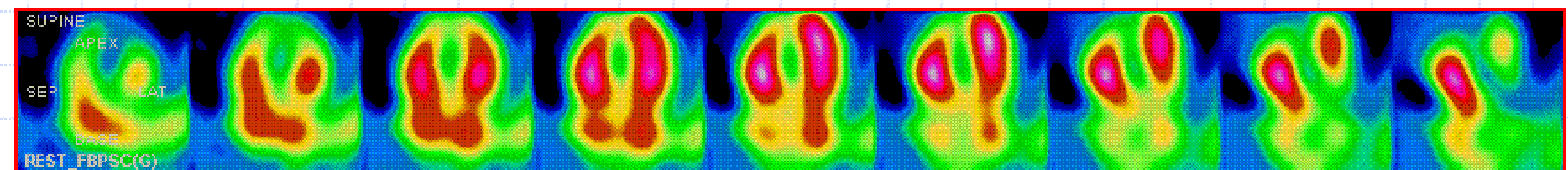
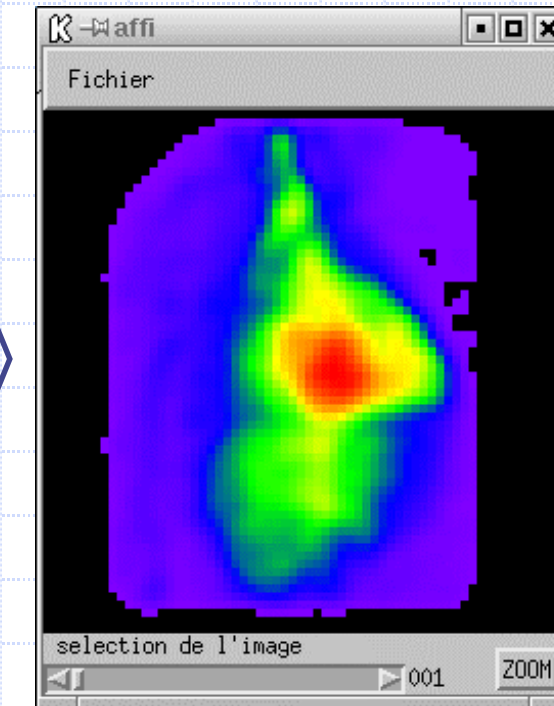
TOMOGRAPHIE 2D

TOMOGRAPHIE 3D

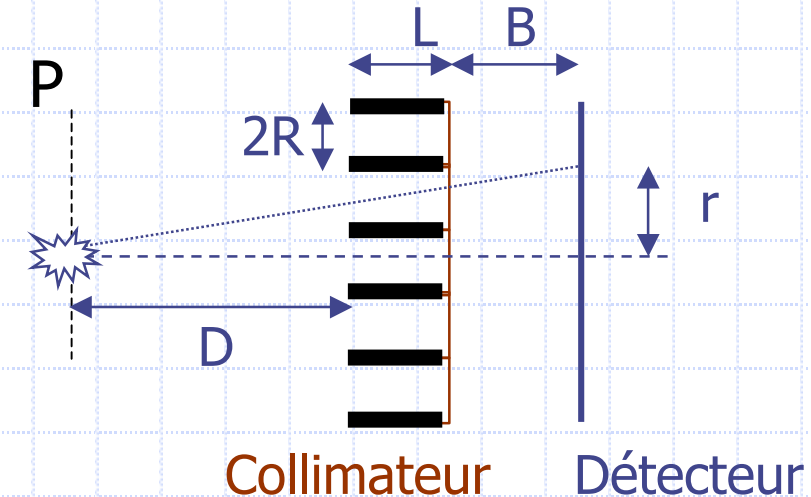
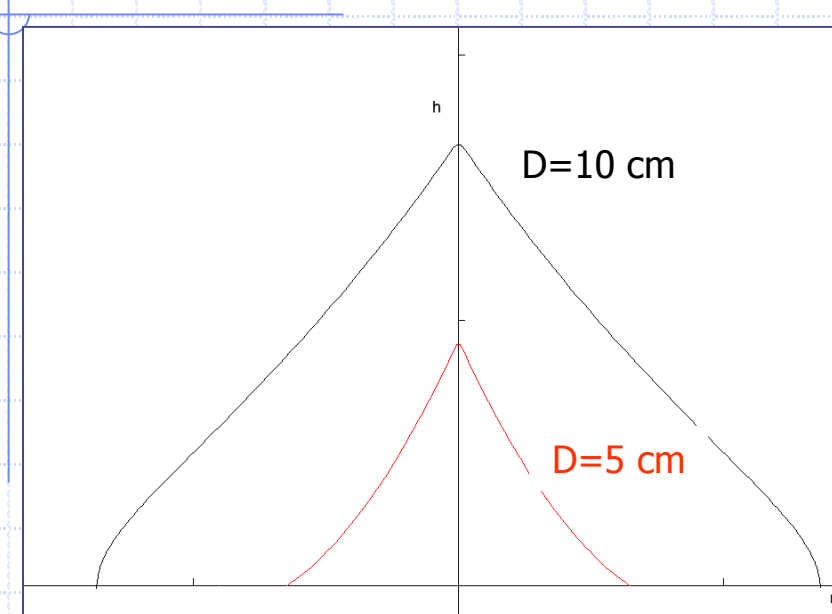
INTERPOLATIONS

SEGMENTATION

# TOMO-VENTRICULOGRAPHIE



# Réponse d'un collimateur

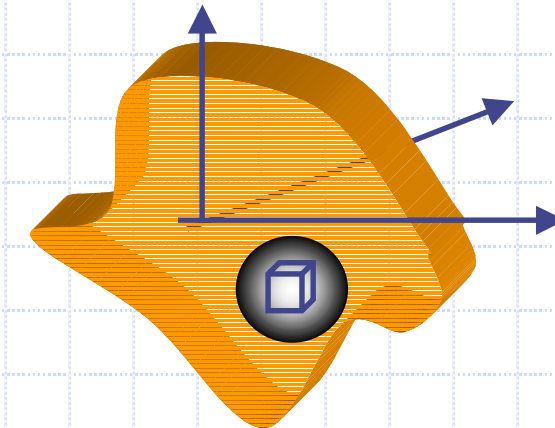
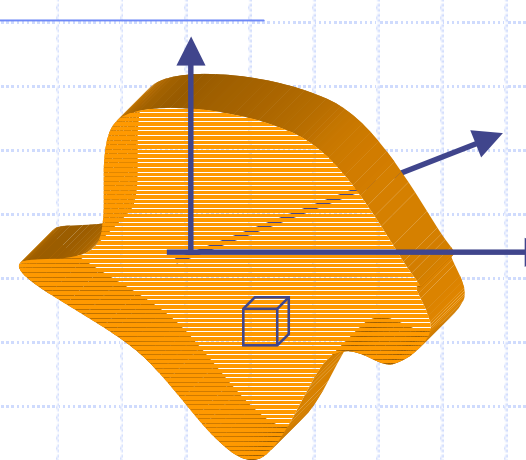


$$h(r) = \frac{\varepsilon}{\pi} \left[ 2 \cdot \arccos\left(\frac{\lambda \cdot r}{2}\right) - \lambda \cdot r \cdot \sqrt{1 - \left(\frac{\lambda \cdot r}{2}\right)^2} \right]$$

$$\lambda = \frac{L}{R(L+D+B)}$$

LEHR :  $L = 4,1 \text{ cm}$  ;  $B = 0,64 \text{ cm}$  ;  $R = 0,19 \text{ cm}$  ;  $\varepsilon = 0,065$

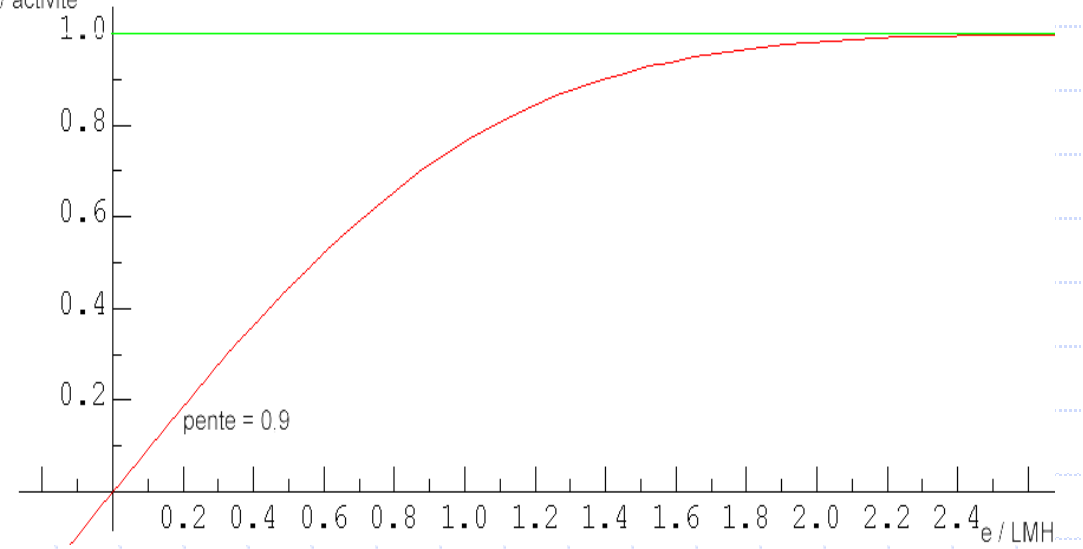
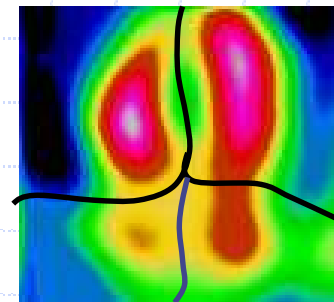
# « Effet de volume partiel »



ACQUISITION

signal / activité

$$S = \frac{2\sqrt{\ln 2}}{LMH} \int_{-e/2}^{e/2} e^{-\frac{4\ln 2}{LMH^2} z^2} dz$$



# Squelette

Soit  $X = \bigcup X_i$  une réunion de régions compactes disjointes.

On définit la zone d'influence de  $X_i$  :

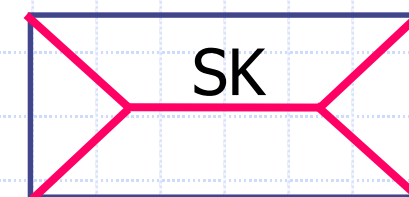
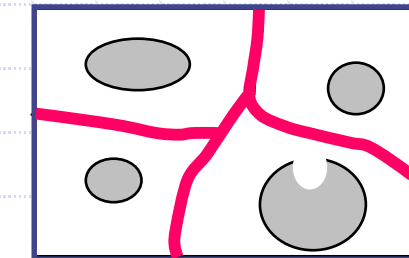
$$IZ(X_i) = \{x, d(x, X_i) < d(x, X \setminus X_i)\}$$

le squelette par zones d'influences de  $X$  :

$$SKIZ(X) = X \setminus \bigcup_i IZ(X_i)$$

et le squelette de  $X$  :

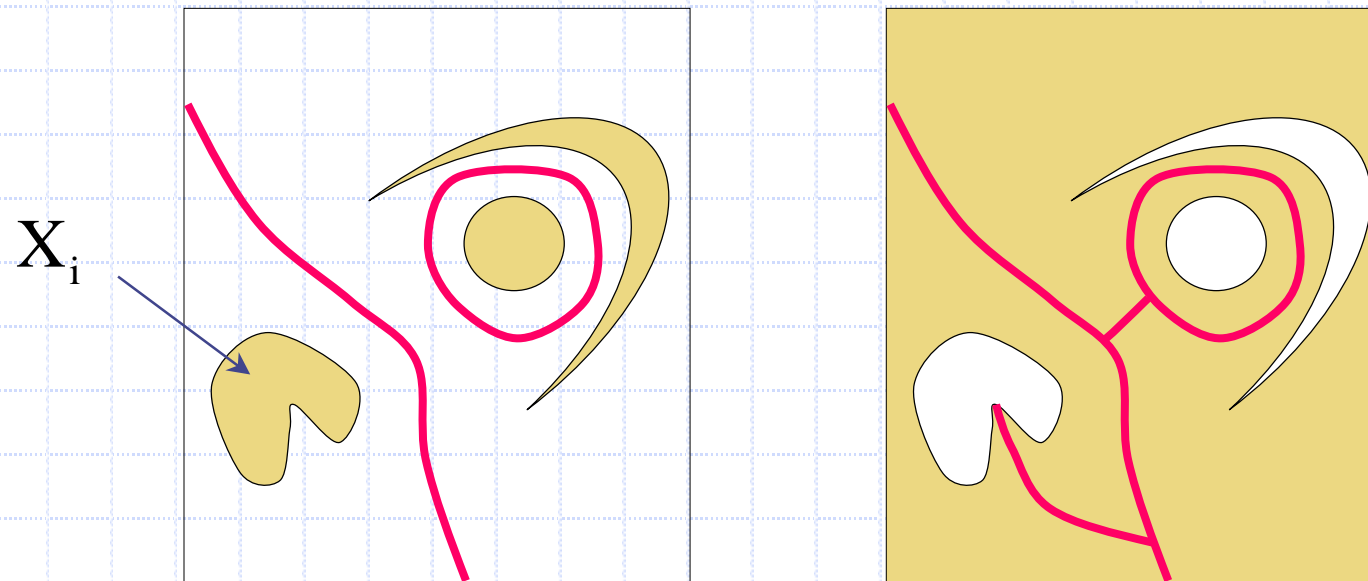
$$SK(X) = \{x \in X, \exists (p, p') \in \partial X^2, p \neq p' / d(x, \partial X) = d(s, p) = d(s, p')\}$$



# Squelette : propriété

$$SK(X) = \{ x \in X, \exists (p, p') \in \partial X^2, p \neq p' / d(x, \partial X) = d(s, p) = d(s, p') \}$$

$$SKIZ(X) = X \setminus \bigcup_i \{ x, d(x, X_i) < d(x, X \setminus X_i) \}$$



$SKIZ(X)$

$\subset$

$SK(X^c)$

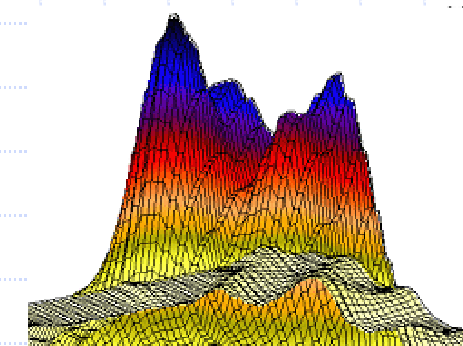
# Ligne de partage des eaux

Soit  $f$  de classe  $C^1$  /  $f(m) = 0$  si  $m$  est un minimum local.  
On définit :

$$LPE(f) = \{x, \exists (m, m') \text{ minima locaux} / d_f(x, m) = d_f(x, m')\}$$

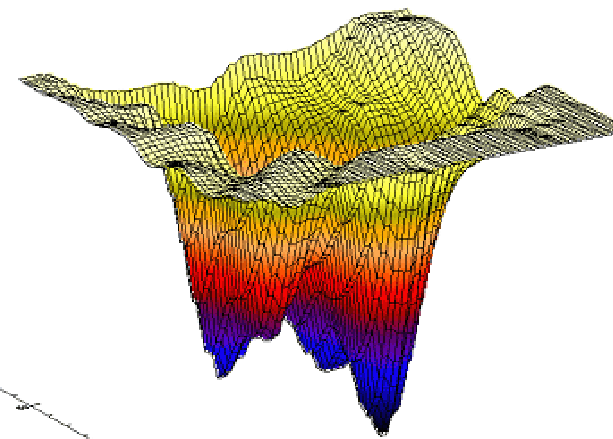
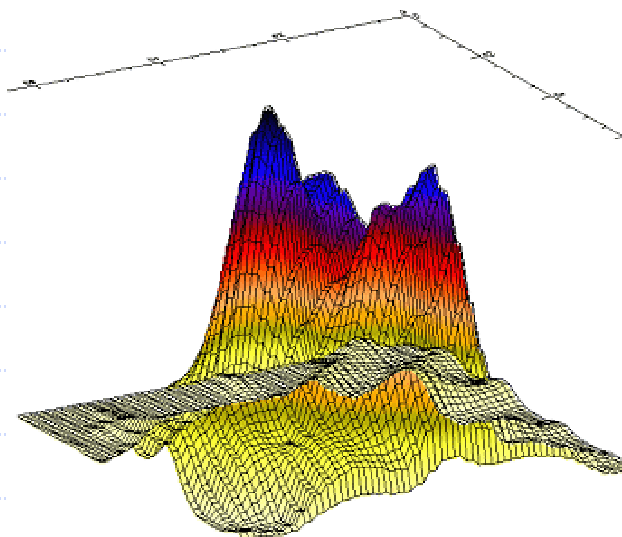
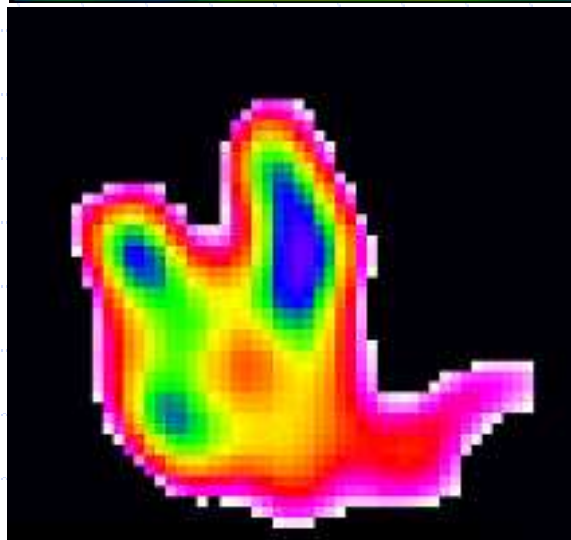
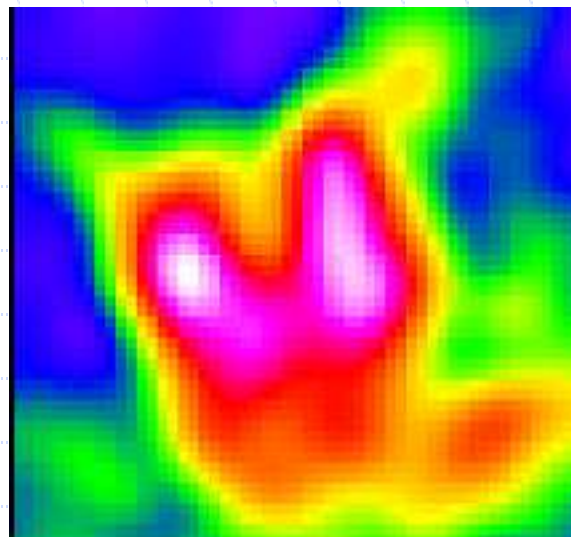
où :

$$d_f(a, b) = \inf_{\gamma_{a,b}} \int_a^b \|\nabla f(\gamma_{a,b}(s))\| ds$$



Propriété : la LPE est un SKIZ( $U\{m_i\}$ ) pour  $d_f$

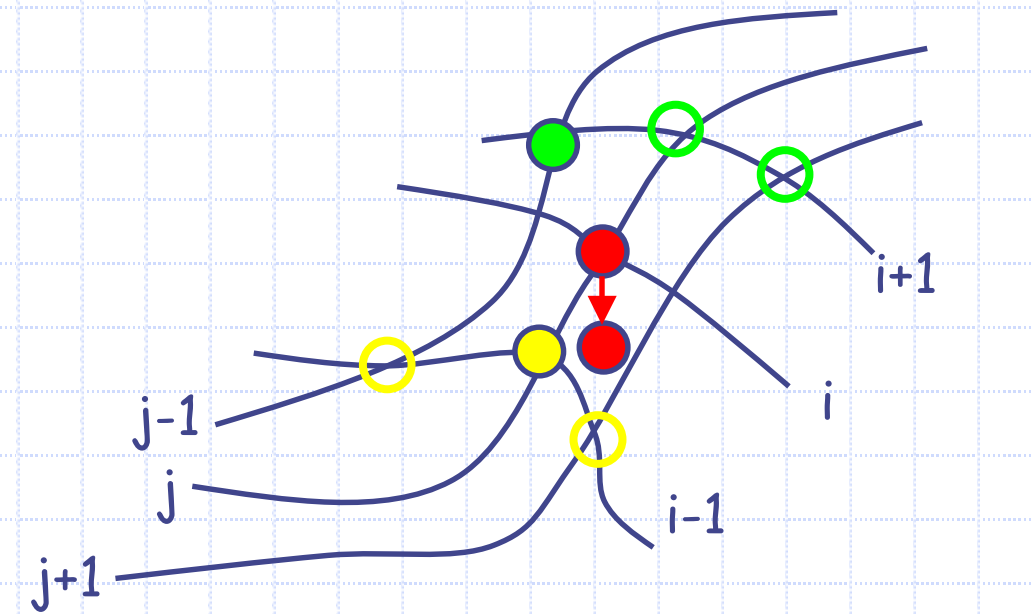
# Intérêt en segmentation



# Sq( $f^c$ ) amincissements...

$$\left( f \circ \begin{bmatrix} 1 & 0 & -1 \\ 1 & 0 & -1 \\ 1 & 0 & -1 \end{bmatrix} \right)(i, j) = f_{\max} \quad \text{si} \quad f_{\max} < f(i, j) \leq f_{\min}$$

$$L = \begin{bmatrix} 1 & 0 & -1 \\ 1 & 0 & -1 \\ 1 & 0 & -1 \end{bmatrix}$$

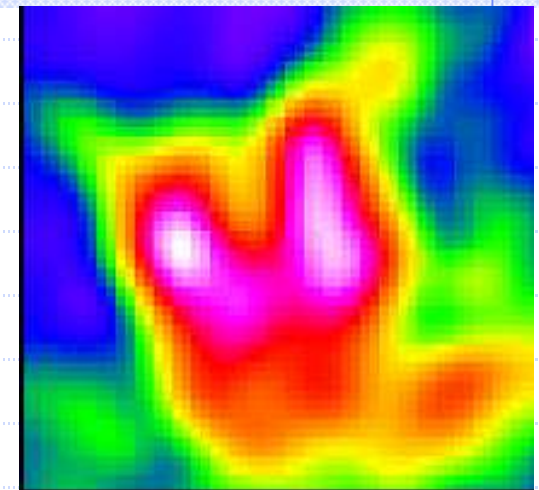


puis LPE par ébarbulage

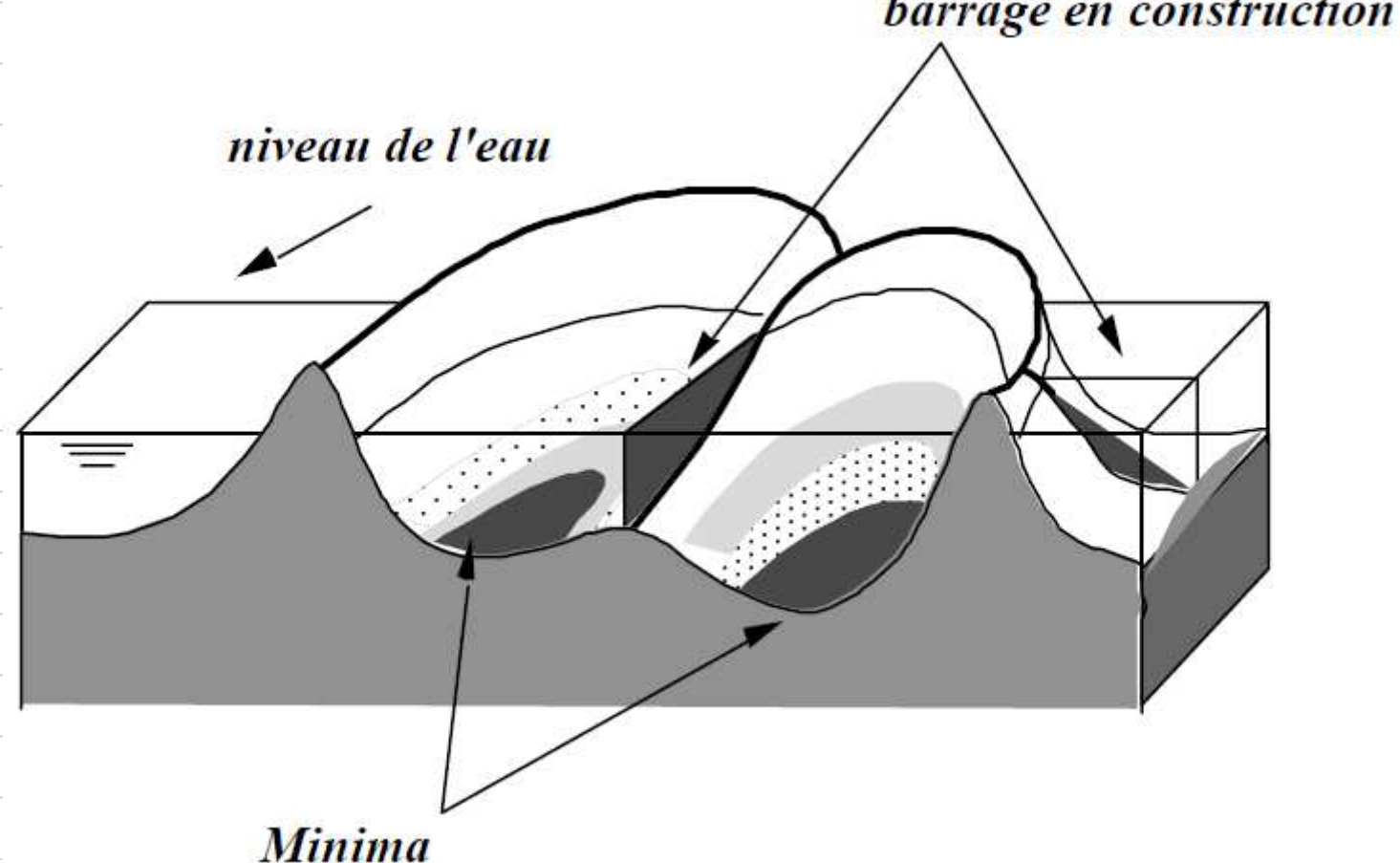


$$Sq = (f \circ L_i)^\infty$$

$$LPE = \left( f \circ \begin{bmatrix} 0 & 1 & 0 \\ 1 & -1 & 1 \\ 0 & 0 & 0 \end{bmatrix}_i \right)^\infty$$



# Alternative: immersion



IMAGERIE

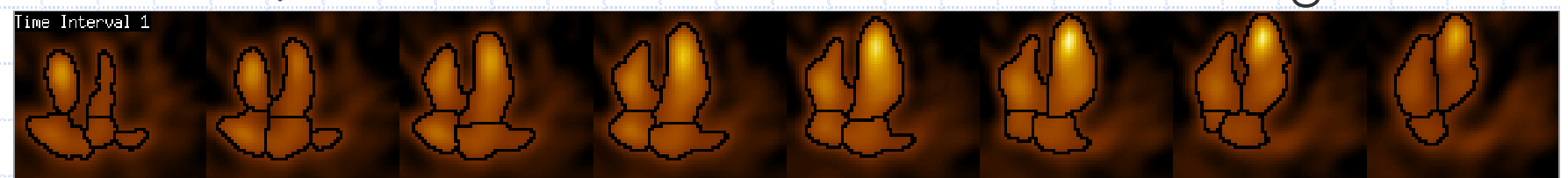
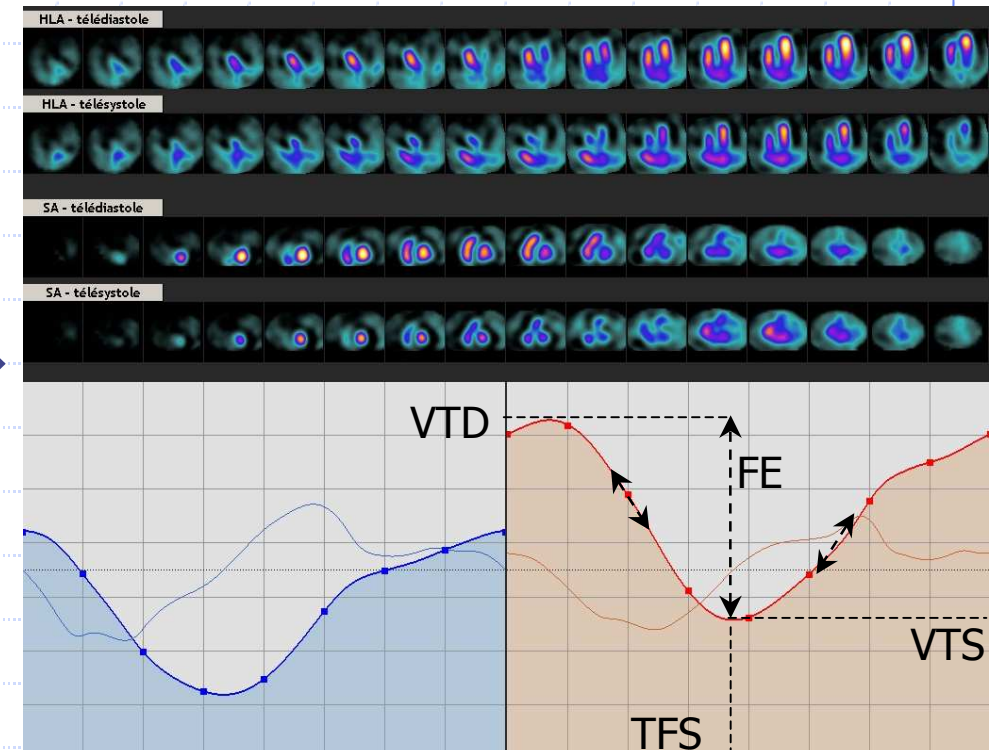
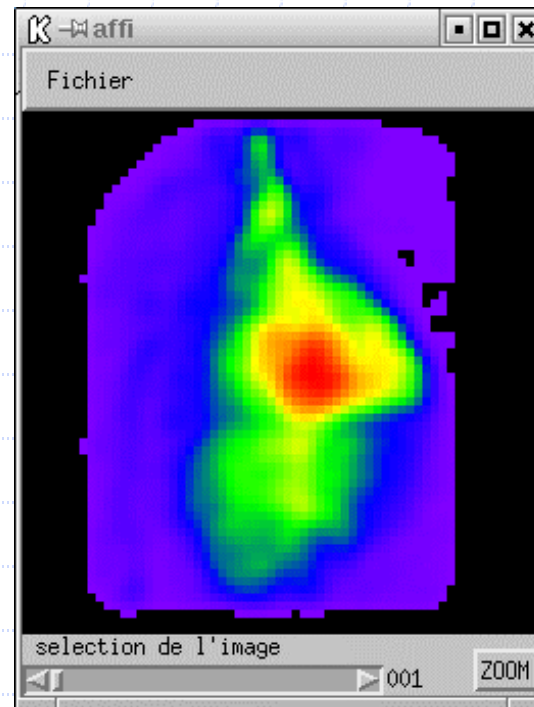
TOMOGRAPHIE 2D

TOMOGRAPHIE 3D

INTERPOLATIONS

SEGMENTATION

# TOMO-VENTRICULOGRAPHIE



F. Ben Bouallègue et D. Mariano-Goulart. Eur J Nucl Med 1998-2001-J Nucl Med 2001-2007

IMAGERIE

TOMOGRAPHIE 2D

TOMOGRAPHIE 3D

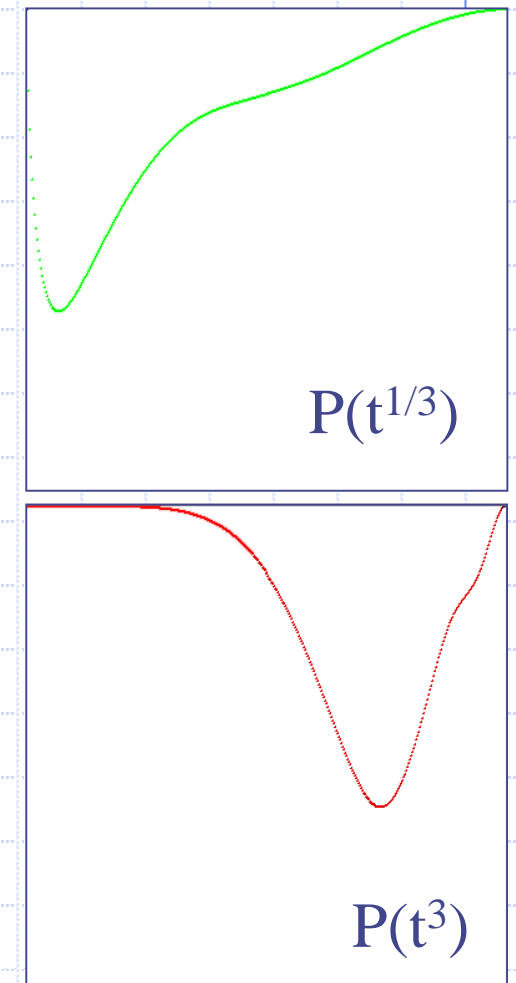
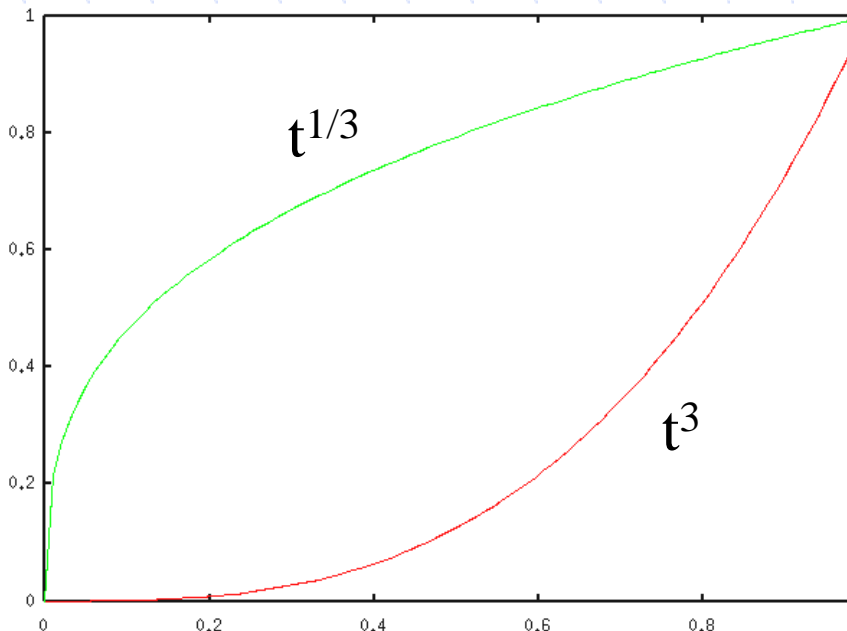
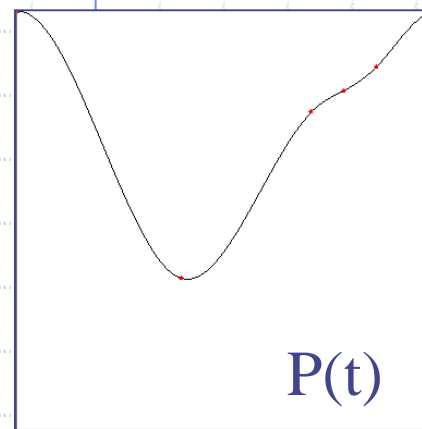
INTERPOLATIONS

SEGMENTATION

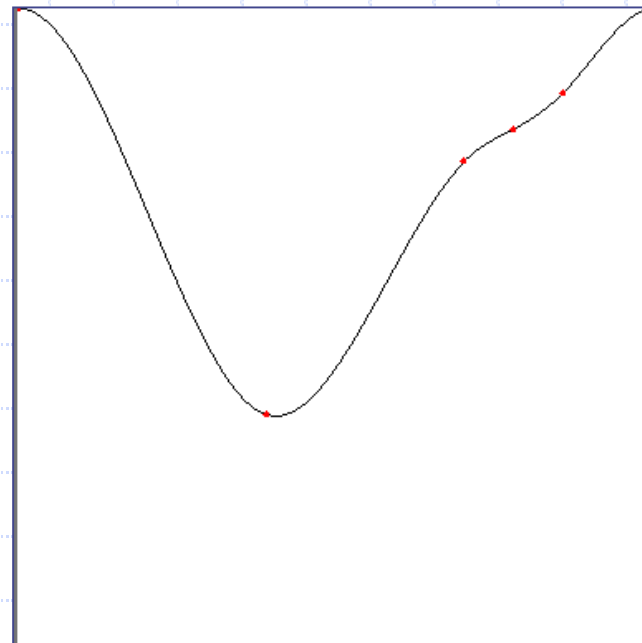
# DEBRUITAGE



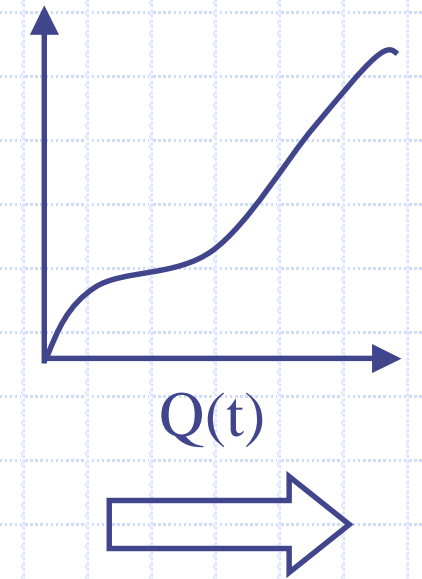
# AJUSTEMENT D'UN MODELE



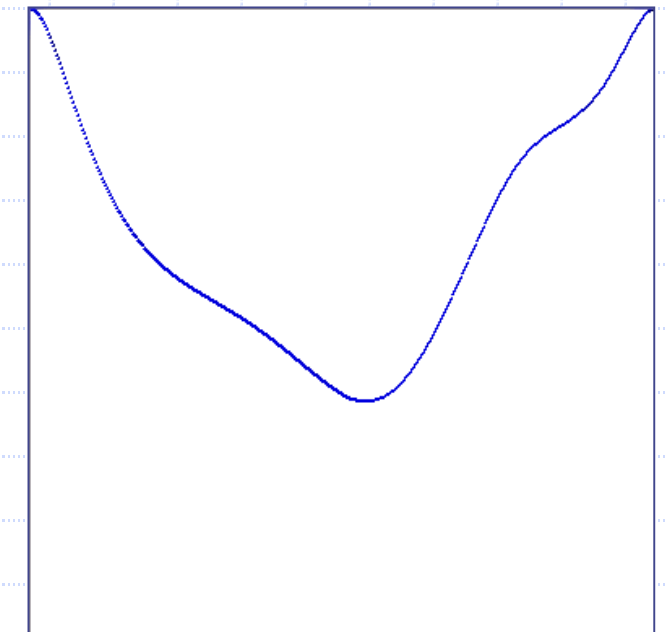
# AJUSTEMENT D'UN MODELE



$P(t)$

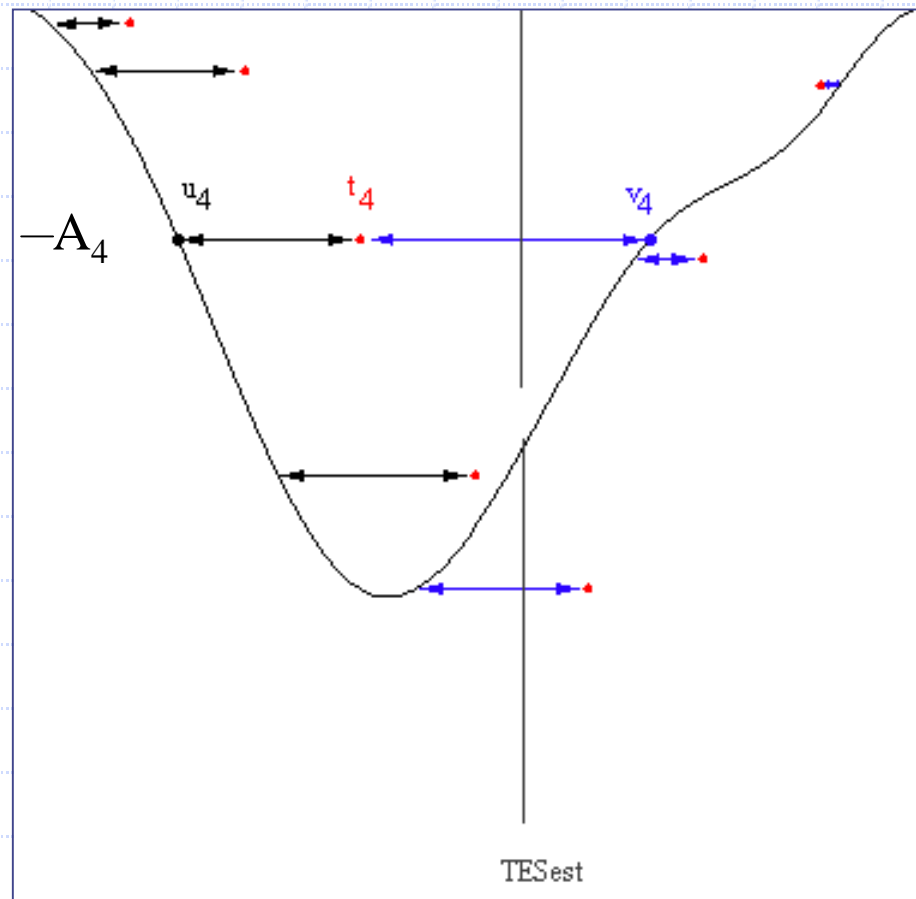


$Q(t)$



$D(t) = P[Q(t)]$

# AJUSTEMENT D'UN MODÈLE

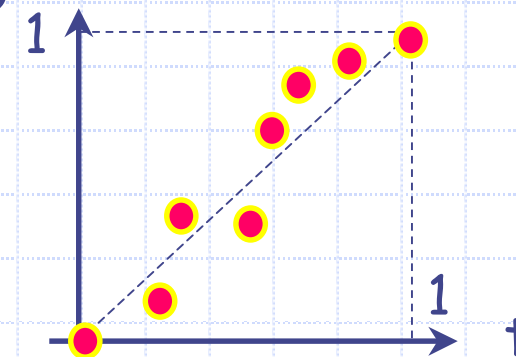


Acquisition bruitée ( $t_4, A_4$ )

$$\begin{aligned}A_4 &= P(u_4) \\A_4 &= D(t_4) = P[Q(t_4)]\end{aligned}$$

$$Q(t_4) = u_4$$

$Q(t)$



IMAGERIE

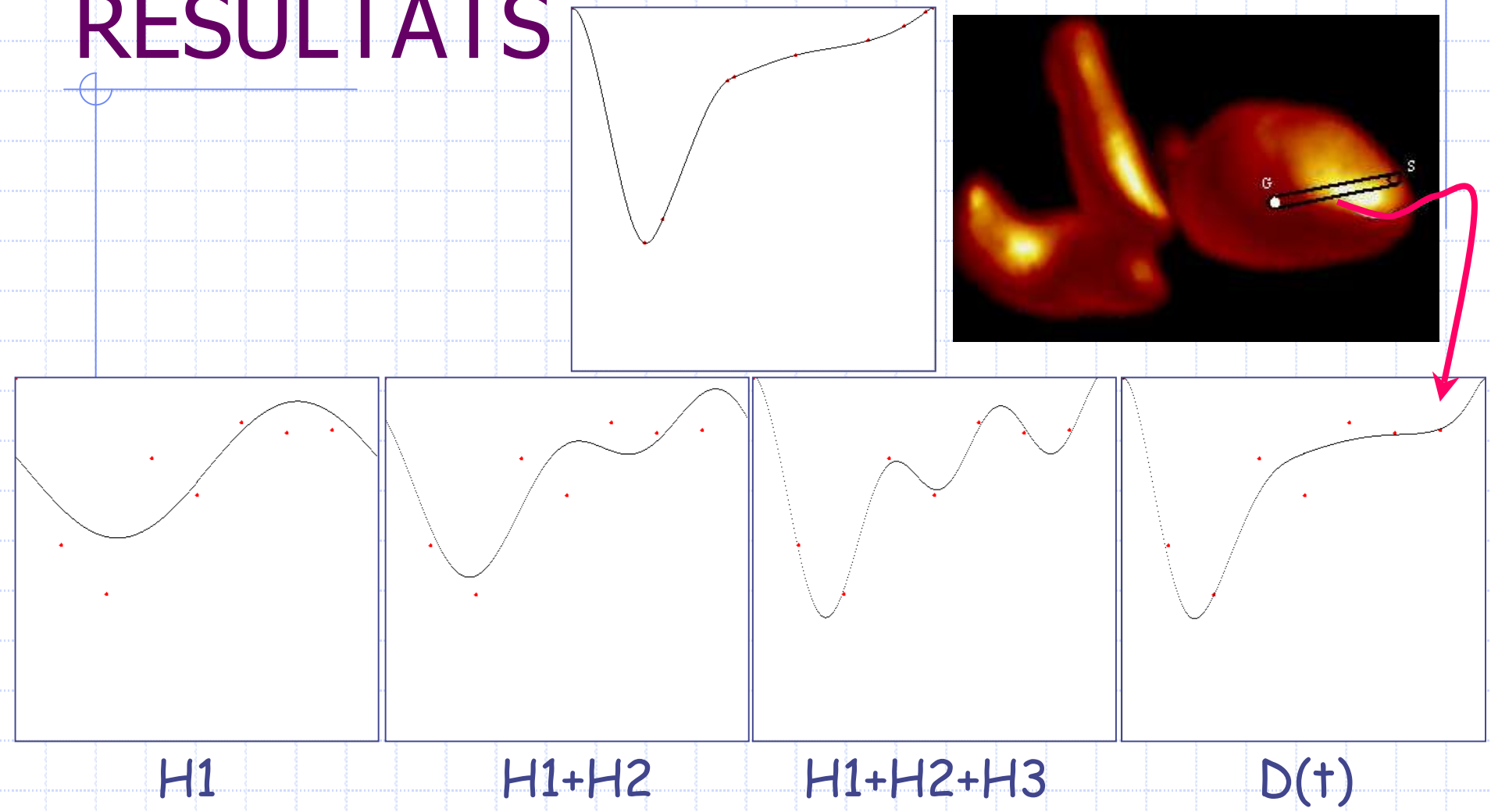
TOMOGRAPHIE 2D

TOMOGRAPHIE 3D

INTERPOLATIONS

SEGMENTATION

# RESULTATS



IMAGERIE

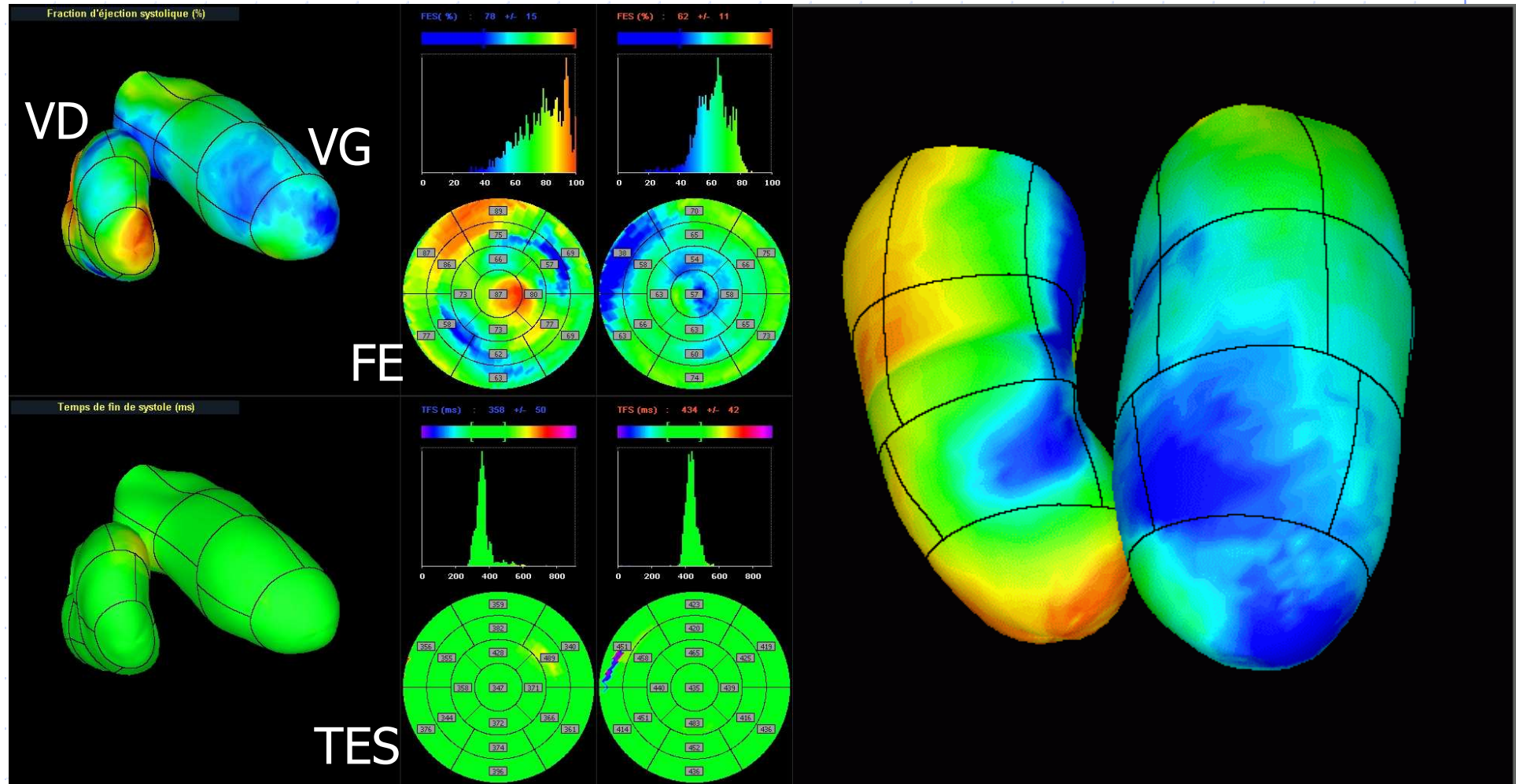
TOMOGRAPHIE 2D

TOMOGRAPHIE 3D

INTERPOLATIONS

SEGMENTATION

# ANALYSE 3D DE CTA LOCALES



# La collaboration Médecine-I3M

## ◆ Depuis 2003

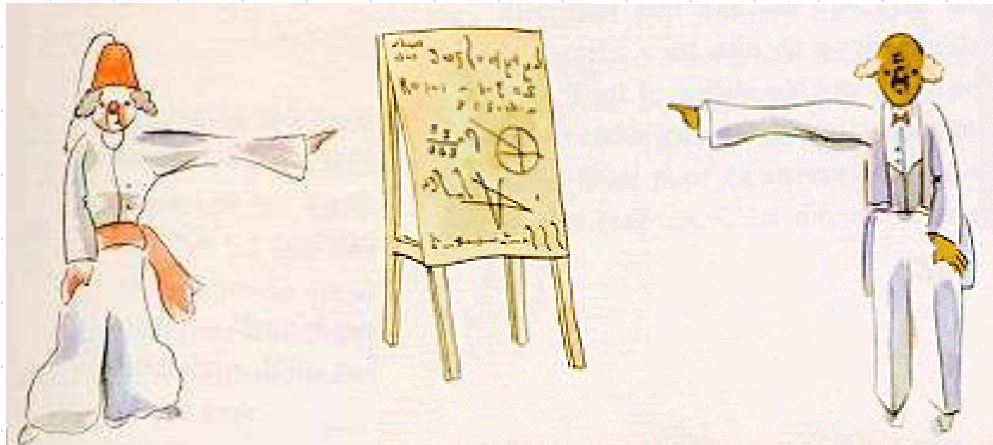
- ◆ JF Crouzet, F Ben Bouallègue, B Mohammadi
- ◆ O Strauss, P. Maréchal, D Mariano-Goulart

## ◆ 8 articles internationaux (IF=1-4)

## ◆ 3 conférences internationales

## ◆ 5 thèses de sciences

- ◆ JL Bernon (2000), C Caderas de Kerleau (2003)
- ◆ Y Saesor(2007), F Ben Bouallègue (2009), D Hoa...



M. Fourcade

D. Mariano-Goulart

M. Rossi

M. Zanca

F. Ben Bouallègue

JF. Crouzet

B. Mohammadi

Merci pour votre attention...